

2 ej.
32

UNIVERSIDAD NACIONAL AUTONOMA DE MEXICO

FACULTAD DE CIENCIAS

UN ALGORITMO PARA TRANSVERSALES
DE CARDINALIDAD MINIMA.

TESIS PROFESIONAL
ZEFERINO PARADA GARCIA
MEXICO, D.F. 1986.



UNAM – Dirección General de Bibliotecas Tesis Digitales Restricciones de uso

DERECHOS RESERVADOS © PROHIBIDA SU REPRODUCCIÓN TOTAL O PARCIAL

Todo el material contenido en esta tesis está protegido por la Ley Federal del Derecho de Autor (LFDA) de los Estados Unidos Mexicanos (México).

El uso de imágenes, fragmentos de videos, y demás material que sea objeto de protección de los derechos de autor, será exclusivamente para fines educativos e informativos y deberá citar la fuente donde la obtuvo mencionando el autor o autores. Cualquier uso distinto como el lucro, reproducción, edición o modificación, será perseguido y sancionado por el respectivo titular de los Derechos de Autor.

Indice.

página

Introducción.

Capítulo I. Conceptos Fundamentales

1.1. Digráficas	2
1.2. Cofronteras, Conexidad y Corte	6
1.3. Cofronteras dirigidas y cortes dirigidos	13
1.4. Transversales, una relación mini-max	20

Capítulo II. Bipartitas Dirigidas, un criterio

para reducir la transversal.

2.1. Trayectorias y transversales en digráficas bipartitas dirigidas	25
2.2. Un criterio para reducir la transversal	31
2.3. Trayectorias ajenas hacia adelante	36
2.4. Un par de trayectorias decrementales	45

CAPITULO III . Un par equicardinal.

3.1. Contracciones y transversales. 49

3.2. La relación minimax 58

CAPITULO IV . EL Algoritmo

4.1. El Algoritmo 65

4.2 Ejemplos 73

Apéndice

A . Algunos Algoritmos 98

B . El Teorema de Jucchesi y Younger 115.

Bibliografía

145.

Introducción.

En 1969 Younger conjeturó la existencia de una familia ajena de cortes dirigido con igual cardinalidad que una transversal de los cortes dirigidos en una digráfica. En su artículo [8] demostró un caso particular. Posteriormente Lucchesi y Younger lo probaron para cualquier digráfica [5], estableciendo el resultado como el Teorema de Lucchesi y Younger. Ambos artículos omiten la forma de encontrar una familia ajena de cortes dirigidos y una transversal equicardinales; es de notarse que este hecho depende de la digráfica.

La finalidad de este trabajo es desarrollar un algoritmo que permite encontrar esta pareja equicardinal en las digráficas bipartitas dirigidas; para este caso, el resultado se sigue de un artículo debido a Mc.Whister [7], que es anterior a [5].

El Capítulo I se dedica a los conceptos necesarios en digráficas para arrancar a la relación minimax entre familias ajenas de cortes dirigidos y las transversales; relación que llevó a Younger a la conjectura mencionada. Algunos conceptos son importantes en este tema como la conexidad.

En el capítulo II se definen las digráficas bipartitas dirigidas y se da un criterio que reduce la cardinalidad de una transversal a otra, basado en una clase especial de trayectorias denominadas decrementales. Esto conduce al estudio de ciertas trayectorias hasta obtener las que son necesarias.

Una vez teniendo una transversal a la que no es posible cambiar por otra de cardinalidad menor, en el Capítulo III se menciona la forma de encontrar un par eiquicardinal de una familia ajena de cortes dirigidos y una transversal, por contracciones de subdigrafías en las cuales es verdadera la

relación minimax.

El Capítulo IV, con ayuda de Inducción sobre el número de vértices, se prueba algorítmicamente el Teorema de Lucchesi y Younger para las digráficas bipartitas dirigidas. Se muestran ejemplos utilizando el material expuesto.

En el Apéndice A están los algoritmos en trayectorias que nos interesan los cuales llevan a los decrementales.

Estos algoritmos son variaciones de uno muy conocido en Teoría de Gráficas; el de la trayectoria de longitud mínima entre un par de vértices, que puede consultarse en [2]. Además se da otro algoritmo para encontrar las subdigráficas que necesitamos contrar en Cap III.

Para mayor comprensión del tema en el Apéndice B se muestra con detalle el Teorema de Lucchesi y Younger para digráficas. La demostración es debida a Lovasz [3].

El lector que llevó un curso de Gráficas y Juegos o de Teoría de Gráficas tendrá mejor perspectiva de

la demostración y de todo el trabajo. En caso contrario se recomienda [1] y [3] sobre los conceptos de Teoría de Gráficas mencionados.

Finalmente deseo decir que este trabajo se basó en una serie de problemas propuestos por Yoenger resueltos por su servidor.

Zefino Parada García

1986.

IV.

"La prueba no está en la maratón.
Sino desde que uno decide meterse
en la bronca y se pone los tenis
para prepararse en la montaña"

Rodolfo Gómez.

CAPITULO I

Conceptos Fundamentales

1.1. Digráficas.

1.1. Definición. Una digráfica D es una tripleta ordenada $(V(D), F(D), \psi_D)$ consistente de un conjunto finito no vacío $V(D)$ de vértices, un conjunto finito $F(D)$, ajeno de $V(D)$, de flechas y una función de incidencia ψ_D que asocia a cada flecha un par ordenado de vértices de D . Si α es una flecha y u, v son los vértices tales que $\psi_D(\alpha) = (u, v)$, u y v son llamados los extremos de α , u será el extremo positivo y v el extremo negativo; en ocasiones los denotaremos como $p\alpha$ y $n\alpha$ respectivamente.

Un ejemplo servirá para aclarar la definición 1.1.

Ejemplo 1.

Sea $D = (V(D), F(D), \psi_D)$

donde

$$V(D) = \{v_1, v_2, v_3, v_4, v_5, v_6, v_7\}$$

$$F(D) = \{d_1, d_2, d_3, d_4, d_5, d_6, d_7, d_8, d_9\}$$

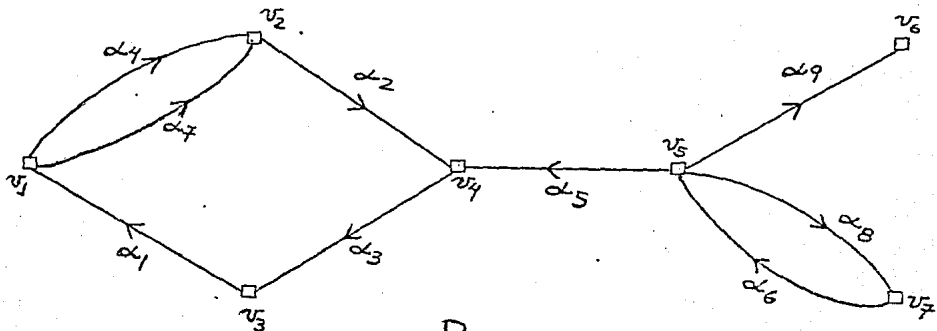
y ψ_D está definida por

$$\psi_D(d_1) = (v_3, v_1) \quad \psi_D(d_4) = (v_1, v_2) \quad \psi_D(d_7) = (v_1, v_2)$$

$$\psi_D(d_2) = (v_2, v_4) \quad \psi_D(d_5) = (v_5, v_4) \quad \psi_D(d_8) = (v_5, v_7)$$

$$\psi_D(d_3) = (v_4, v_3) \quad \psi_D(d_6) = (v_7, v_5) \quad \psi_D(d_9) = (v_5, v_6).$$

Una digráfica tiene una representación geométrica, donde los vértices son puntos en el plano y cada flecha es un segmento o arco que une a sus extremos con una flecha apuntando al extremo negativo. La digráfica del ejemplo 1 se representa en la figura 1.1.

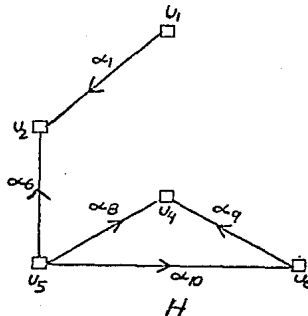
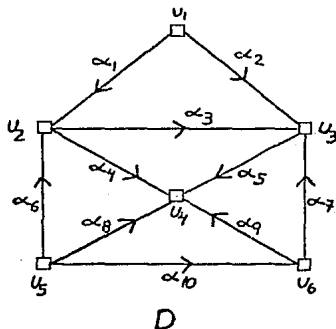


D
fig. 1.1.

En adelante una digráfica se considera como su representación geométrica.

1.2. Definición. Una subdigráfica de una digráfica D , es una digráfica H , donde $V(H) \subset V(D)$, $F(H) \subset F(D)$ y ψ_H es la restricción de ψ_D sobre H .

De entre las subdigráficas son importantes para efectos de este trabajo las inducidas por subconjuntos de vértices. Estas se forman al considerar como conjunto



Una subdigráfica de D

fig. 1.2.

de vértices un subconjunto no vacío de vértices de la digráfica, digamos V' , y conjunto de flechas aquellas de la digráfica con ambos extremos en V' . La denotaremos como $D[V']$. La figura 1.3. muestra un ejemplo de una digráfica incluida por el conjunto de vértices $V' = \{v_1, v_5, v_6, v_7\}$.

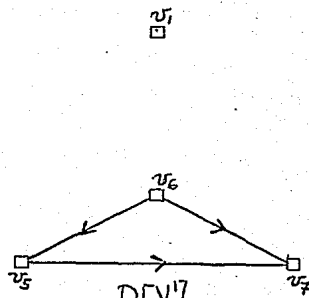
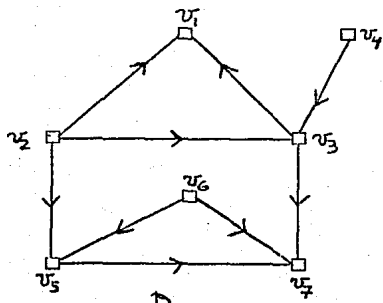


fig. 1.3.

1.2. Cofronteras, Conexidad y Cortes.

1.3. Definición. En una digráfica D la función cofrontera se define como.

$$T: 2^{V(D)} \rightarrow 2^{F(D)}$$

a cada subconjunto de vértices W le asigna el conjunto de flechas $T(W)$ cuyos elementos tienen un extremo en W y el otro en W^c .

T no es una función inyectiva ya que $T(W) = T(W^c)$. Por ejemplo $T(\emptyset) = \emptyset$ y de aquí $T(V(D)) = \emptyset$. Como ejemplo al concepto que acabamos de definir consideremos la digráfica de la figura 1.4.

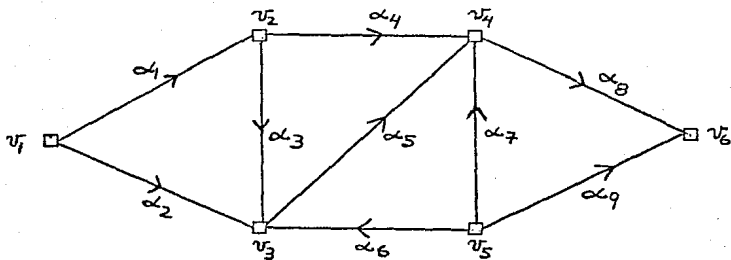


fig. 1.4

De aquí tenemos que

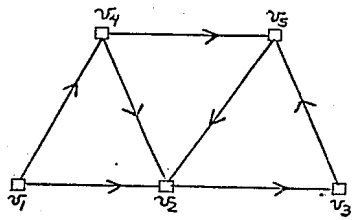
$$T(\{v_5\}) = \{\alpha_6, \alpha_7, \alpha_9\} \quad T(\{v_1, v_2, v_3\}) = \{\alpha_4, \alpha_5, \alpha_6\}$$

$$T(\{v_6\}) = \{\alpha_8, \alpha_9\}$$

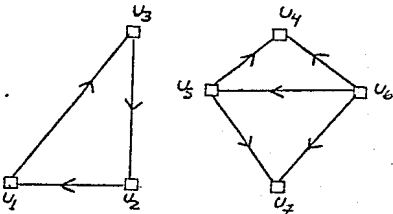
1.4. Definición. La digráfica D es conexa, si para todo subconjunto propio no vacío W de $V(D)$ se tiene que $T(W) \neq \emptyset$.

Si una digráfica no es conexa, diremos que es díscreta.

Las digráficas que constan de un sólo vértice son conexas.



Digráfica conexa.



Digráfica disconexa.

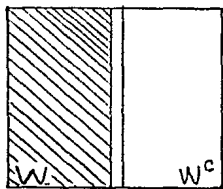
fig.1.5

Si una digráfica es disconexa a partir de la definición 1.4. tiene subdigraficas conexas, la caracterización de las subdigraficas máximas con esta propiedad es de la siguiente forma:

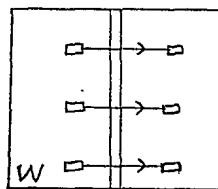
1.5. Definición. Una componente conexa de la digráfica D es una subdigráfica inducida por un subconjunto de vértices V' tal que $D[V']$ es conexa y $T(V') = \emptyset$

De la definición de una digráfica disconexa tenemos que T no es inyectiva (salvo complementos), sin embargo T cumplirá esta propiedad cuando la digráfica sea conexa.

Cuando se haga referencia al valor de la función cofrontera del subconjunto de vértices W usaremos el siguiente diagrama.

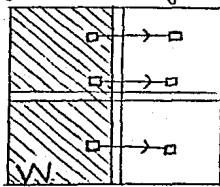


El conjunto W y su complemento

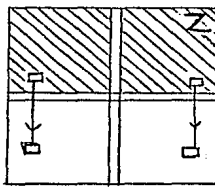


La cofrontera $T(W)$

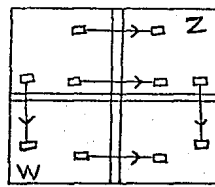
Cuando mencionemos dos cofronteras, $T(W)$ y $T(Z)$ usaremos el siguiente diagrama.



El conjunto W y $T(W)$



El conjunto Z y $T(Z)$



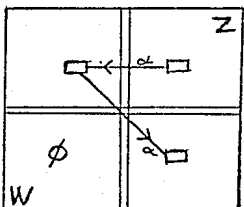
$T(W)$ y $T(Z)$

1.1. Teorema. Sea D una digráfica conexa, $T(W)$ y $T(Z)$ cofronteras en D ; si $T(W) = T(Z)$ entonces $W = Z$ ó $W = Z^c$.

Demarcación.

Si las cofronteras son vacías y como D es conexa los únicos subconjuntos que lo cumplen son el vacío y el conjunto de vértices, en tal caso el resultado se da.

Supongamos que las cofronteras son no vacías y que $W \neq Z$ y $W \neq Z^c$. Entre W y Z no existe contención alguna; ya que si por ejemplo $W \subset Z$, como ambos conjuntos son distintos sucede que $Z - W$ es no vacío, siendo D conexa tenemos $T(Z - W) \neq \emptyset$. Si α es una flecha de esta cofrontería existen dos posibilidades, fig. 1.6.



Casos de la flecha α
fig. 1.6.

(i) $\beta \in T(Z) - T(W)$

(ii) $\beta \in T(W) - T(Z)$.

En ambos casos $T(Z) \neq T(W)$, lo cual por hipótesis no sucede.

También W y Z son ajenas; ya que si $W \cap Z \neq \emptyset$, por lo anterior se tiene que $W - Z$ y $Z - W$ son no vacíos de donde su unión, llamémosla, $W \Delta Z$ es no vacía y como D es conexa $T(W \Delta Z) \neq \emptyset$, ahora bien, si $\beta \in T(W \Delta Z)$ suceden dos posibilidades, fig. 1.7.

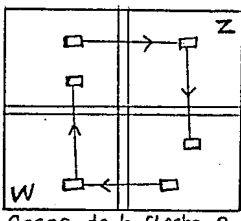


fig. 1.7.

(i) $\beta \in T(W) - T(Z)$

(ii) $\beta \in T(Z) - T(W)$.

En cualquier caso $T(Z) \neq T(W)$, lo cual no puede suceder.

De lo anterior concluimos que

$$W \subsetneq Z^c \quad (1)$$

Como $T(W) = T(Z^c)$ y suponemos que $W \neq Z^c$, no existe
contención alguna entre W y Z^c , en particular

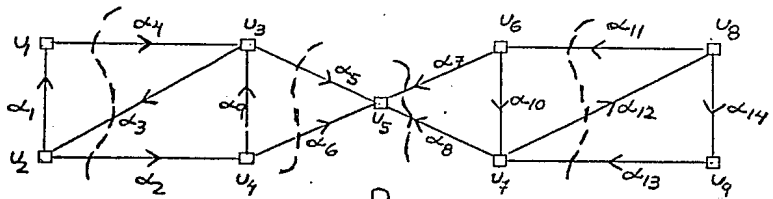
$$W \not\subseteq Z^c$$

■

En ocasiones nos interesaran las cofronteras como el conjunto de flechas que las forman y en otras como el subconjunto de vértices que al aplicar la función T , nos dé las flechas de la cofrontera por tal motivo aplicaremos el término cofrontera y el símbolo T al conjunto de flechas que sean valor de la función T .

1.6. Definición. Un conjunto de corte es una cofrontera no vacía, cuyos subconjuntos propios no vacíos no son cofronteras.

La digráfica de la figura 1.8 muestra algunos de sus conjuntos de corte.



Conjuntos de corte en D.

fig. 1.8

1.3. Cofronteras dirigidas y Cortes dirigidos.

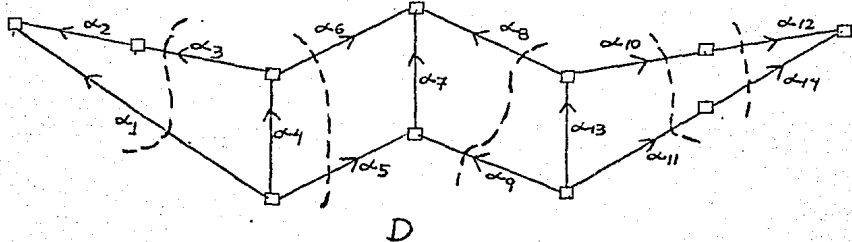
1.7. Definición. La cofrontera $T(W)$ es dirigida si para toda $\alpha \in T(W)$, $p\alpha \in W$ ó $n\alpha \in W$. En el primer caso $T(W)$ es dirigida hacia adelante y en el segundo dirigida hacia atrás.

En una digráfica conexa D, si T_0 es una cofrontera dirigida no vacía, V^{+T_0} es el subconjunto de vértices cuya cofrontera es T_0 y contiene los extremos positivos de cada flecha de T_0 . De como se define el conjunto V^{+T_0} también definimos $V^{-T_0} = (V^{+T_0})^c$. Por el Teo-

Teorema 1.1. V^+T_0 y V^-T_0 están únicamente definidos.

En adelante, a menos que se especifique lo contrario, trabajaremos con digráficas conexas. Los resultados para éstas se aplican a cada componente conexa de una digráfica disconexas.

1.8. Definición. Un conjunto de corte dirigido es un conjunto de corte que es cofrontera dirigida.



Algunos cortes dirigidos en la digráfica D.

figura-1.9

El siguiente resultado es una condición necesaria y suficiente para que una cofrontera dirigida sea conjunto de corte dirigido.

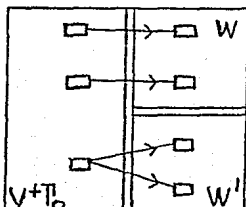
1.2. Teorema. Sea T_0 cofrontera dirigida no vacía en la dirigencia conexa D .

T_0 es corte dirigido si y solo si $D[V^{+T_0}]$ y $D[V^{-T_0}]$ son conexas.

Demonstración

Supongamos que $D[V^{-T_0}]$ es desconexa y sea $D[W]$ una componente conexa de ella además $W' = V^{-T_0} - W$.

Como D es conexa $T(W) \neq \emptyset$ y si $x \in T(W)$ tenemos que



La cofrontera T_0
fig. 1.10

de T_0 y no es W . fig. 1.10; es decir $T(W)$ es cofrontera, también dirigida contenida en T_0 . Estas mismas propiedades las cumple $T(W')$. Ambas cofronteras, $T(W)$ y $T(W')$ son ejercas y su unión es T_0 . De donde T_0 no es conjunto de corte. Concluimos que DEV^{-T_0} es conexa.

Análogamente probamos la conexidad de DEV^{+T_0} .

Supongamos que T_0 no es conjunto de corte, sea T_k cofrontera no vacía contenida propiamente en T_0 y $W \subset V(D)$ tal que

$$T(W) = T_k$$

Como $\{V^{+T_0}, V^{-T_0}\}$ es una partición de $V(D)$ tenemos que

$$W \cap V^{+T_0} \neq \emptyset \quad o \quad W \cap V^{-T_0} \neq \emptyset.$$

D.p.g. supongamos que

$$W \cap V^{+T_0} \neq \emptyset$$

Ahora bien si V^{+T_0} no está contenido en W como

$D_1 = DEV^{+T_0}$ es conexa entonces $T_{D_1}(W \cap V^{+T_0})$ es no vacío,

de donde si $\beta \in T_0$, ($W \cap V^{+T_0}$) se tiene que $\alpha \in T_0(W) = T_x$, ya que ambos extremos de α están en V^{+T_0} fig. 1.11, tenemos

$$\alpha \notin T_0$$

Por lo cual $V^{+T_0} \subset W$.

Claramente $W \neq V^{+T_0}$, la igualdad nos diría que $T_0 = T_x$.

Entonces

$$W \cap V^{-T_0} \neq \emptyset$$

y de forma análoga concluimos que $V^{-T_0} \subset W$.

Lo decíamos $W = V(T)$ y $T_x = \emptyset$

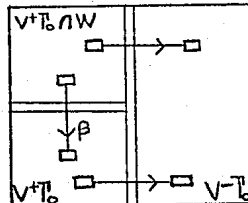


fig 1.11

Si una confrontera dirigida no es corte dirigido, en la demostración del teorema 1.2, se dio una manera de descomponerla en confronteras dirigidas ajenes. Este argumento nos lleva a establecer el siguiente resultado

1.3. Teorema. Una confrontera dirigida es la unión de cortes dirigidos ajenos.

Demonstración.

Usamos inducción sobre el número de flechas de la confrontera.

Si T_0 es una confrontera dirigida y $|T_0| = 1$, claramente T_0 es corte dirigido.

Hipótesis de Inducción. Supongamos que si una confrontera dirigida tiene menos de n flechas es la unión de cortes dirigidos ajenos.

Sea T_0 una confrontera dirigida con n -flechas.

En caso que $D[V^{+T_0}]$ y $D[V^{-T_0}]$ sean conexas por el teorema 1.2.

T_0 es corte dirigido.

Supongamos s.p.g que $D[V^{-T_0}]$ es desconexa , sea $D[W]$ una de sus componentes conexas y $W' = V^{-T_0} - W$. Como en la demostración del teorema 1.2. tenemos que $T(W)$ y $T(W')$ son coponteras dirigidas no vacias y ajenas . Además su unión es T_0 y cada una de ellas tiene menos de n flechas , por la hipótesis de inducción cada copontera es la unión ajena de cortes dirigidos , todos estos cortes dirigidos son ajenos y su unión es T_0 .

1.4. Transversales, una relación min&max.

1.9. Definición. Un conjunto t de flechas en una digráfica D es una transversal de los cortes dirigidos de D si t intersecta a todos los cortes dirigidos no vacíos de D .

En la figura 1.12. se muestra una transversal de los cortes dirigidos de D formado por el conjunto de flechas $t = \{\alpha_1, \alpha_5, \alpha_6, \alpha_7\}$

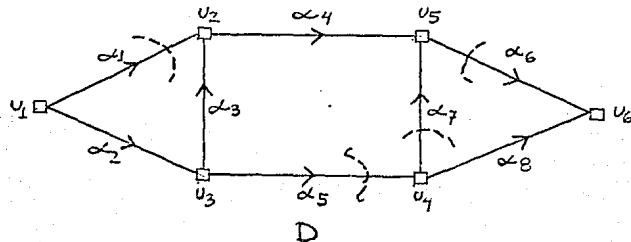


fig. 1.12.

En adelante a un transversal de los cortes dirigidos le llamaremos simplemente transversal. Típicamente $F(D)$ es transversal en la digráfica D .

1.4. Teorema. Sea Δ una familia de cortes dirigidos ajenos dos a dos y t transversal entonces $|\Delta| \leq |t|$.

Demostración.

Sea $\Delta = \{T_1, \dots, T_m\}$,

para $T_j \in \Delta$, $1 \leq j \leq m$ se tiene que $T_j \cap t \neq \emptyset$, sea $d_j \in T_j \cap t$.

Si $i \neq j$, $d_j \neq d_i$ ya que $T_j \cap T_i = \emptyset$.

Entonces $\{d_1, \dots, d_m\} \subseteq t$ de donde

$$m = |\Delta| \leq |t|.$$



1.1. Corolario. Sean Δ y t como en el teorema 1.4.

Si $|\Delta| = |t|$ entonces Δ es una familia máxima en cardinalidad de cortes dirigidos ajenos y t es transversal mínima, en cardinalidad.

Demonstración.

Sean Δ' una familia ajena de cortes dirigidos y t' un transversal, por el teorema 1.4. se tiene

$$|\Delta'| \leq |t'| = |\Delta| \leq |t'|$$

es decir Δ es una familia máxima de cortes dirigidos ajenos y t una transversal mínima.

Younger conjecturó que para cualquier digráfica una familia máxima de cortes dirigidos ajenos tiene la misma cardinalidad que una transversal mínima. Esta relación le llamaremos mini-max. Para digráficas con pocos vértices la relación mini-max se puede checar encontrando una familia Δ y transversal t . La demostración de la relación se desarrolla en el Apéndice de este trabajo y es debida a L. Lovász []. La digráfica de la figura 1.13. muestra una familia máxima de cortes dirigidos ajenos y una transversal mínima.

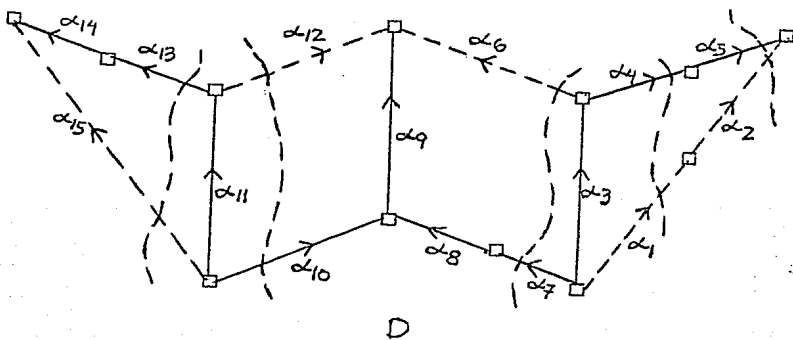


fig. 1.13.

Tenemos $\Delta = \{d_1, d_4\}, \{d_2, d_5\}, \{d_6, d_7\}, \{d_{10}, d_{12}\}, \{d_{13}, d_{15}\}$
 y $t = \{d_1, d_2, d_6, d_{12}, d_{15}\} \cdot (*)$

(*) En la figura 1.3. estas flechas estan punteadas.

"I'm a poor lonesome
cowboy, far away from
home"

Lucky Luke.

CAPITULO II.

Biparticiones dirigidas.
Un criterio para reducir
la transversal.

2.1. Trayectorias y Transversales en digráficas bipartitas dirigidas

2.1. Definición. La digráfica D es bipartita dirigida si $V(D)$ tiene una bipartición $\{V^+, V^-\}$, tal que $F(D)$ es cofrente dirigida y los extremos positivos de cada flecha están en V^+

En adelante, a menos que se especifique lo contrario D es conexa, bipartita dirigida de donde $V(D)$ tiene una sola bipartición; suponemos que $F(D)$ es no vacío $\{V^+, V^-\}$. La figura 2.1 muestra un ejemplo de una digráfica con bipartición dirigida,

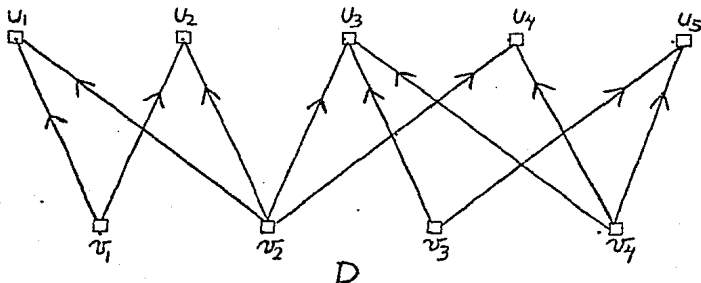


fig. 2.01.

2.2. Definición. Sean $u, v \in V(D)$, una uv -trayectoria Π en D es una sucesión alternada de vértices y flechas

$$\Pi = u_1 \alpha_1 u_2 \alpha_2 u_3, \dots, u_n \alpha_n u_{n+1}.$$

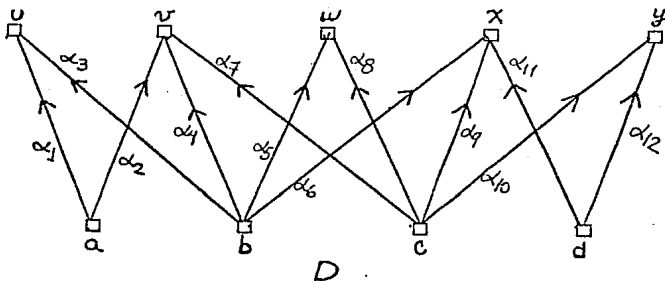
donde $u_i = u$, $u_{n+1} = v$; $u_i \neq u_j$ para $i \neq j$

y $\alpha_i = (u_i, u_{i+1})$ ó $\alpha_i = (u_{i+1}, u_i)$ para $i = 1, \dots, n$.

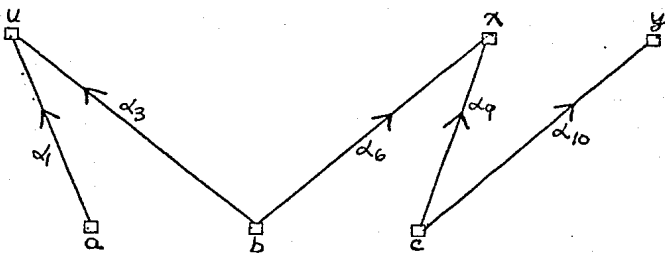
La longitud de la trayectoria es el número de flechas en Π y lo denotaremos como $l(\Pi)$, es decir $l(\Pi) = n$. Las flechas usadas en Π las denotamos como el conjunto $\alpha(\Pi)$.

2.3. Definición. Sean $u, v \in V(D)$ y Π_1, Π_2 uv -trayectorias, decimos que Π_1 y Π_2 son internamente ajenas si los únicos vértices que tienen en común son u y v .

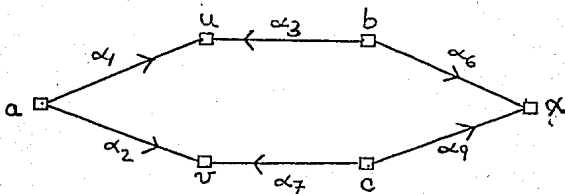
Una digráfica y tres trayectorias



D



$$\Pi = \alpha_1 u \alpha_3 b \alpha_6 x \alpha_9 c \alpha_{10} y$$



$$\Pi_1 = \alpha_1, \alpha_2, \nu$$

$$\Pi_2 = \alpha_1 u \alpha_3 b \alpha_6 x \alpha_9 c \alpha_7 \nu.$$

Trajetorías internamente ajenas

fig. 2.2.

Si Π es un-trayectoria, su longitud se caracteriza por lo siguiente.

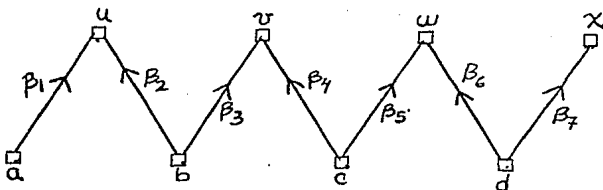
- (a) Si ambos vértices, u y v , pertenecen al mismo conjunto de la bipartición $\{V^+, V^-\}$, $l(\Pi)$ es par.
- (b) Si u y v están en conjuntos diferentes de la bipartición $\{V^+, V^-\}$, $l(\Pi)$ es impar.

En particular trabajamos con trayectorias donde $u \in V^+$ y $v \in V^-$, para estas definimos los siguientes conceptos.

2.4. Definición. Sea $\Pi = u_1 d_1 u_2 d_2 u_3, \dots, u_n d_n u_{n+1}$ una $u_1 u_{n+1}$ -trayectoria con $u_i \in V^+, u_{n+1} \in V^-$, el conjunto de flechas hacia adelante de Π es $C_f\Pi = \{d_i \mid 1 \leq i \leq n, i \text{ es impar}\}$, y el conjunto de flechas hacia atrás de Π es

$$C_b\Pi = \{d_i \mid 1 \leq i \leq n, i \text{ es par}\}.$$

En esta clase de trayectorias, de la definición, el conjunto $C_f\Pi$ tiene un elemento más que $C_b\Pi$. La figura 2.3. muestra un ejemplo



$$\Pi = a\beta_1 u \beta_2 b \beta_3 v \beta_4 c \beta_5 w \beta_6 d \beta_7 x$$

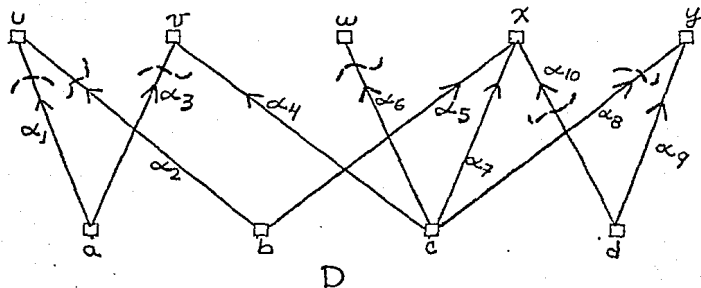
$$C_f\Pi = \{\beta_1, \beta_3, \beta_5, \beta_7\} \quad C_t\Pi = \{\beta_2, \beta_4, \beta_6\}.$$

fig. 2.3

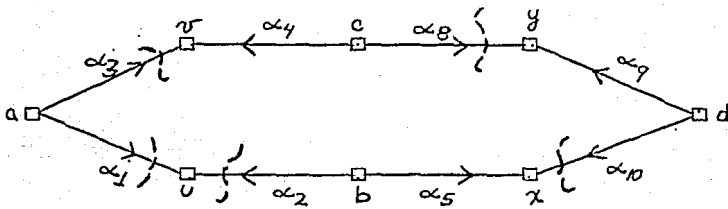
Introducimos los conceptos relacionados con trayectorias y transversales.

2.5. Definición. Sean t transversal, $a \in V^+$, $b \in V^-$, diremos que la ab-trayectoria Π es t -trayectoria si $C_f\Pi \subset t$.

2.6. Definición. Sean t transversal, $a \in V^+$, $b \in V^-$ y Π_1, Π_2 ab-trayectorias diremos que Π_1, Π_2 es un par de t -trayectorias decrecientes si son t -trayectorias e internamente ajenas.



$$t = \{\alpha_1, \alpha_2, \alpha_3, \alpha_6, \alpha_8, \alpha_{10}\}.$$



$\Pi_1 = \alpha_4 \cup \alpha_8$, $\Pi_2 = \alpha_3 \cup \alpha_4 \cup \alpha_8 \cup \alpha_{10} \cup \alpha_5 \cup \alpha_2 \cup \alpha_1$
par de trayectorias decrementales

fig. 2.4.

2.2. Un criterio para reducir Transversales.

En las digráficas bipartitas dirigidas es posible dar un criterio para cambiar de un transversal a otro de cardinalidad menor, para esto, una pareja de trayectorias decrementales es la base. La dificultad sería probar que el conjunto de flechas propuesto es un transversal, sin embargo, el hecho de trabajar con t-trayectorias facilita la demostración, aunque ésta sea un poco larga.

2.1. Teorema. Sea t transversal en D y Π_1, Π_2 un par de t-trayectorias decrementales con inicio en $a \in V^+$ y final $b \in V^-$ entonces $t' = (t - \alpha_f \Pi_1) \cup \alpha_r \Pi_1$ es un transversal tal que $|t'| < |t|$.

Demostración.

Tenemos que $|t'| = |(t - \alpha_f \Pi_1) \cup \alpha_r \Pi_1|$

i.e.

$$|t'| = |t - \alpha_f \Pi_1| + |\alpha_r \Pi_1| - |(t - \alpha_f \Pi_1) \cap \alpha_r \Pi_1|$$

entonces $|t'| \leq |t - \alpha_f \pi_1| + |\alpha_f \pi_1|$

ya que $\alpha_f \pi_1 \subset t$, tenemos

$$|t'| \leq |t| - |\alpha_f \pi_1| + |\alpha_f \pi_1|. \quad (*)$$

como π_1 es t -trayectoria sucede que $|\alpha_f \pi_1| = |\alpha_f \pi_1| + 1$.

por lo cual $|t| - |\alpha_f \pi_1| + |\alpha_f \pi_1| \leq |t| - 1$

finalmente (*) se convierte a

$$|t'| \leq |t| - 1$$

i.e. $|t'| < |t|$.

Ahora probemos que t' es transversal.

Sean

$$\pi_1 = u_1, d_1, u_2, \dots, u_n, u_{n+1}, \quad \pi_2 = v_1, \beta_1, v_2, \dots, v_m, \beta_m, v_{m+1}.$$

donde $u_1 = v_1 = a$ y $u_{n+1} = v_{m+1} = b$.

Consideremos T_0 corte dirigido y los conjuntos V^+T_0 y V^-T_0 .
Con respecto a los vértices a y b se tiene:

- (1) a y b pertenecen a conjuntos diferentes.
- (2) a y b pertenecen al mismo conjunto.

(1.a). Supongamos que $a \in V^+T_0$ y $b \in V^-T_0$. Entonces $\mathcal{C}\Pi_2 \cap T_0 \neq \emptyset$. Sea $j \in \{1, \dots, m\}$ el primer elemento tal que $\beta_j \in T_0$, entonces en la trayectoria $\Pi = v_1 \beta_1, \dots, v_j \beta_j v_{j+1}$ se tiene que $v_j \in V^+T_0$ y $v_{j+1} \in V^-T_0$, de donde $\beta_j \in T_0$ y $\beta_j = (v_j, v_{j+1})$; como $l(\Pi)$ es impar y sus flechas están en las de T_2 concluimos que $\beta_j \in \mathcal{C}_f\Pi_2$, ya que Π_2 es t -trayectoria, $\beta_j \in t$, i.e. $\beta_j \in T_0 \cap t'$. Ver figura.

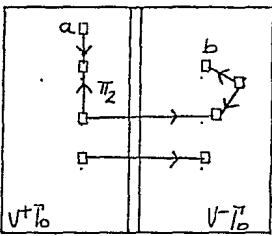
(1.b). Supongamos que $a \in V^-T_0$ y $b \in V^+T_0$.

Se tiene que $\mathcal{C}\Pi_1 \cap t \neq \emptyset$, en caso contrario $b \in V^-T_0$. Sea $i \in \{1, \dots, n\}$ el primer índice tal que $\alpha_i \in T_0$, consideremos la trayectoria $\Pi' = u_1 d_1 u_2 \dots u_i d_i u_{i+1}$ donde $u_i \in V^-T_0$ y $u_{i+1} \in V^+T_0$, entonces $d_i \in T_0$ y $d_i = (u_{i+1}, u_i)$, como $l(\Pi')$ es par y sus flechas pertenecen a Π_1 se tiene que $d_i \in \mathcal{C}\Pi_1$, por lo cual $d_i \in t'$. Ver figura

(2.a). $a, b \in V^+T_0$.

Si $\mathcal{C}\Pi_1 \cap T_0 = \emptyset$, entonces $T_0 \cap t' \neq \emptyset$.

Supongamos que $\mathcal{C}\Pi_1 \cap T_0 \neq \emptyset$, si en esta intersección



1.a

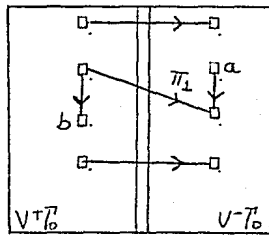


fig. 2.5:

1.b

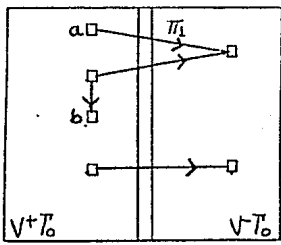
consta de una flecha pasando de V^+T_0 a V^-T_0 de donde $b \in V^-T_0$, que por hipótesis no sucede. Sean $i, k \in \{1, \dots, n\}$ el primer y segundo índice, respectivamente, tal que $a_i, d_k \in T_0$, como en (1.a) concluimos que $a_i \in \alpha \cap \Pi_1$; en la trayectoria $\Pi^* = U_1, d_1, \dots, U_k, d_k, U_{k+1}, \dots, U_n$ se tiene que $U_k \in V^-T_0$ y $U_{k+1} \in V^+T_0$, es decir $d_k = (U_{k+1}, U_k)$ análogo a (1.b) $d_k \in \alpha \cap \Pi_1$. Por lo tanto $T_0 \cap t' \neq \emptyset$. figura

(2.b) a, $b \in V^-T_0$.

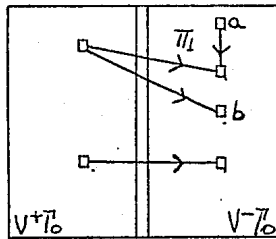
Si $\alpha \cap T_0 = \emptyset$, claramente $T_0 \cap t' \neq \emptyset$.

Supongamos que $\alpha \cap T_0 \neq \emptyset$

Si i, k, \dots, n es el primer índice tal que $a_j \in T_0$, análogo a (1.b) tenemos $a_i \in \alpha \cap \Pi_1$, entonces $T_0 \cap t' \neq \emptyset$. figura.



2.a.



2.b.

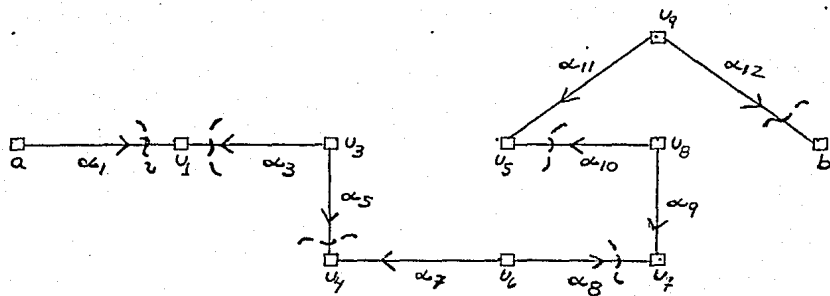
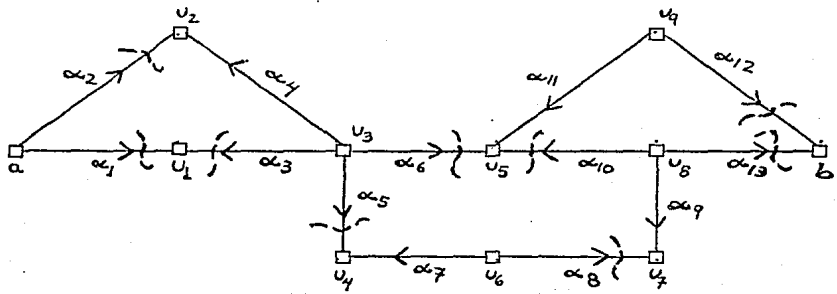
fig. 2.6.

2.3. Trayectorias ajenas hacia adelante.

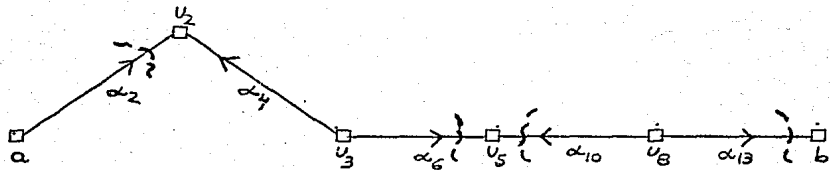
2.7 Definición. Sean $a \in V^+$, $b \in V^-$, t -transversal y Π_1, Π_2 ab-trayectorias, decimos que Π_1, Π_2 es un par de t-trayectorias ajenas hacia adelante si Π_1 y Π_2 son t-trayectorias y $C_f\Pi_1 \cap C_f\Pi_2 = \emptyset$.

Estas son las trayectorias con las cuales trabajamos inicialmente. Sus recorridos no son tan exigentes como los decrementales. Se implementa un algoritmo para encontrar un par de t-trayectorias ajenas hacia adelante ó un corte dirigido hacia adelante $T(X)$ donde $a \in X$, $b \in X^c$. Ver Apéndice A.

La figura 2.7. muestra un caso de un par de t-trayectorias ajenas hacia adelante.



Π_1



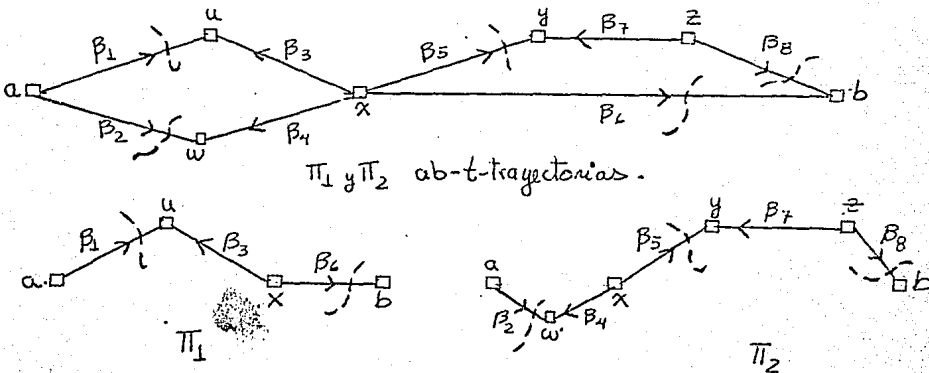
Π_2

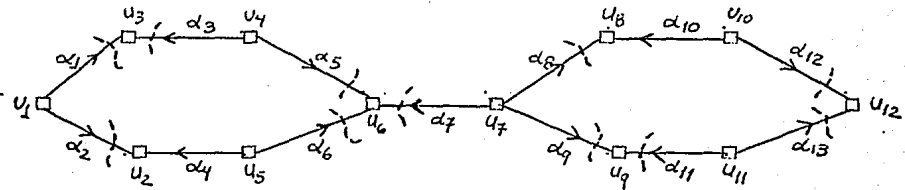
Π_1, Π_2 par de trayectorias ajenas hacia adelante.

fig. 2.7

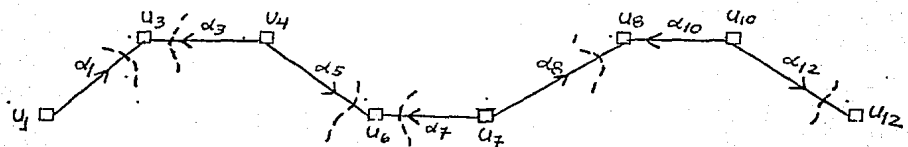
2.8. Definición. Sean $a \in V^+$, $b \in V^-$; t transversal y Π_1, Π_2 ab-trayectorias decimos que Π_1, Π_2 es un par de t-trayectorias fuertemente ajenas hacia adelante si Π_1, Π_2 son t-trayectorias y $C_f \Pi_1 \cap C_f \Pi_2 = \emptyset = C_f \Pi_2 \cap C_f \Pi_1$.

El recorrido de estas trayectorias tendrá en común vértices y si una flecha pertenece a ambas estará en $C_f \Pi_1 \cap C_f \Pi_2$. De aquí que este tipo de trayectorias se parecen a las trayectorias decrementales. fig. 2.8

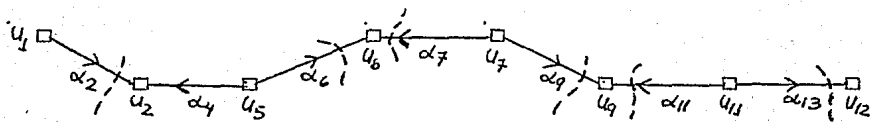




un par de t-trayectorias
fuertemente ajena hacia adelante



u_1, u_{12} -t-trayectoria



u_1, u_{12} -t-trayectoria

fig. 2.9

2.2 Teorema. De un par de t-trayectorias ajenas hacia adelante se pueden convertir a un par de t-trayectorias fuertemente ajenas hacia adelante.

Demonstración.

Sean Π_1, Π_2 ab-t-trayectorias ajenas hacia adelante, la prueba es por inducción sobre $|C\Pi_1 \cap C\Pi_2|$.

Claramente si $|C\Pi_1 \cap C\Pi_2| = 0$, Π_1, Π_2 son fuertemente ajenas hacia adelante.

Hipótesis de Inducción. Supongamos que si Π'_1, Π'_2 es un par de t-trayectorias ajenas hacia adelante con menos de m flechas en común el resultado se cumple.

Sean Π_1, Π_2 par de t-trayectorias ajenas hacia adelante donde $|C\Pi_1 \cap C\Pi_2| = m$.

Si las m flechas en común pertenecen a $C\Pi_1 \cap C\Pi_2$, Π_1, Π_2 es un par de t-trayectorias fuertemente ajenas hacia adelante. Supongamos que no tenemos este caso.

Entonces en Π_1 y Π_2 tenemos trayectorias -al menos dos- del siguiente tipo.

$$\Pi_1^* = x \alpha v_1 \alpha_1 v_2 \dots v_{n-1} \alpha_{n-1} v_n \beta y .$$

$$\Pi_2^* = z \delta v_n \alpha_{n-1} v_{n-2} \dots v_2 \alpha_1 v_1 \varepsilon w .$$

donde

$$v_i \in V(\Pi_1) \cap V(\Pi_2) ; x, y \in V(\Pi_1) - V(\Pi_2) ; z, w \in V(\Pi_2) - V(\Pi_1)$$

$$\alpha_i \in C\Pi_1 \cap C\Pi_2 ; \alpha, \beta \in C\Pi_1 \neq C\Pi_2 ; \delta, \varepsilon \in C\Pi_2 - C\Pi_1$$

el índice i varía de 1 a n en los vértices y de 1 a $n-1$ en las flechas. Además $\alpha_i \notin C_f\Pi_1 \cap C_f\Pi_2$.

Para v_1 tenemos dos opciones

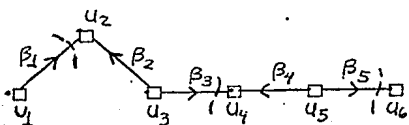
(i.a). $v_1 \in V^+$

(i.b) $v_1 \in V^-$

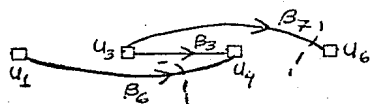
(i.a). tenemos que $\alpha \in C_f\Pi_1$, $\alpha_1 \in C_f\Pi_1 \cap C_f\Pi_2$ y $\varepsilon \in C_f\Pi_2$ entonces

$\Pi_1' = (\alpha, \Pi_1, v_1) \cup (v_1, \Pi_2, \varepsilon)$ es ab-t-trayectoria

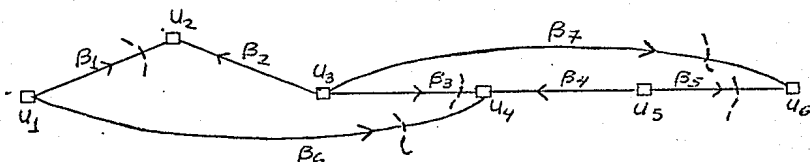
Ver figura 2.10.



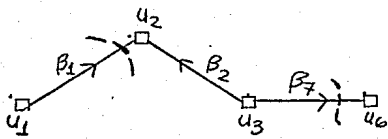
$u_1, u_6 - t$ -trayectoria
 Π_1



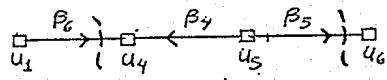
$u_1, u_6 - t$ -trayectoria
 Π_2



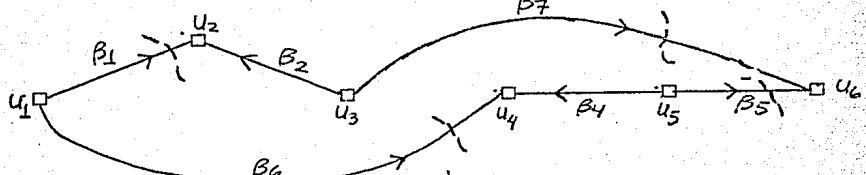
$\Pi_1 \text{ y } \Pi_2$



Π_1'



Π_2'



$\Pi_1' \text{ y } \Pi_2'$

fig. 2.10.
42.

(1.b). tenemos que $\alpha \in \mathcal{C}_f\pi_1$, $\alpha_1 \in \mathcal{C}_f\pi_1 \cap \mathcal{C}_f\pi_2$ y $\beta \in \mathcal{C}_f\pi_2$
 entonces

$$\pi'_1 = (\alpha, \pi_1, v_1) \cup (v_1, \pi_2, b)$$

es ab-t-trayectoria. Ver figura 2.11.

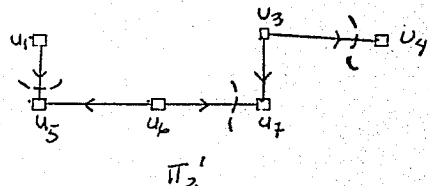
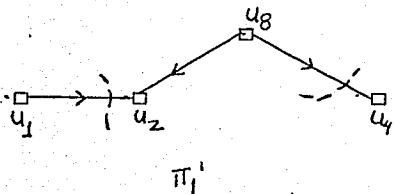
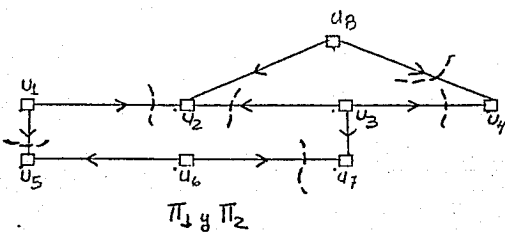
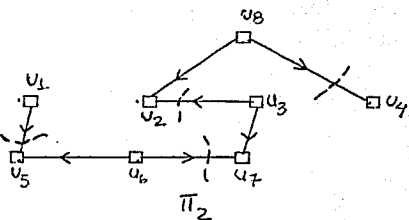
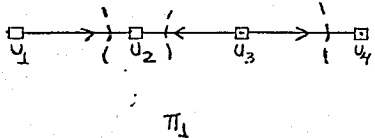


fig. 2.11.

También para v_n se tienen dos opciones

(ii.a) $v_n \in V^+$

(ii.b) $v_n \in V^-$

En cualquier caso, análogo a (i.a) e (i.b) concluimos que

$$\Pi_2' = (a, \Pi_2, v_n) \cup (v_n, \Pi_1, b)$$

es una ab-t-trayectoria.

Además Π_1', Π_2' es un par de t-trayectorias ajenas hacia adelante, donde

$$|C\Pi_1' \cap C\Pi_2'| < |C\Pi_1 \cap C\Pi_2| = m.$$

Por hipótesis de inducción, Π_1', Π_2' se pueden convertir a un par de t-trayectorias fuertemente ajenas hacia adelante

2.4. Un par de trayectorias decrementales.

2.3. Teorema. De un par de t-trayectorias fuertemente ajena hacia adelante es posible extraer un par de t-trayectorias decrementales, tal vez con diferente origen o final.

Demostración.

Usamos inducción sobre el número de vértices internos en común en el par de trayectorias.

Si el par de trayectorias son internamente ajenes forman un par de t-trayectorias decrementales.

Hipótesis de Inducción. Supongamos que si un par de t-trayectorias fuertemente ajena hacia adelante tienen menos de n vértices internos en común ($n > 0$) es posible extraer un par de t-trayectorias decrementales.

Sean $a \in V^+$, $b \in V^-$ y Π_1, Π_2 ab-t-trayectorias fuertemente ajena hacia adelante donde tienen n vértices internos en común y v_1 es el primer vértice de Π_1 que también está en Π_2 . v_1 tiene dos opciones.

1.a. - $v_1 \in V^-$

1.b. $v_1 \in V^+$

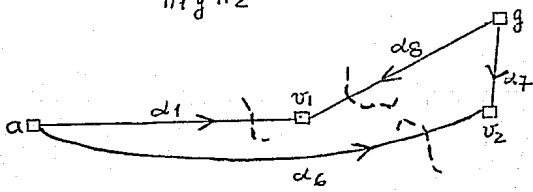
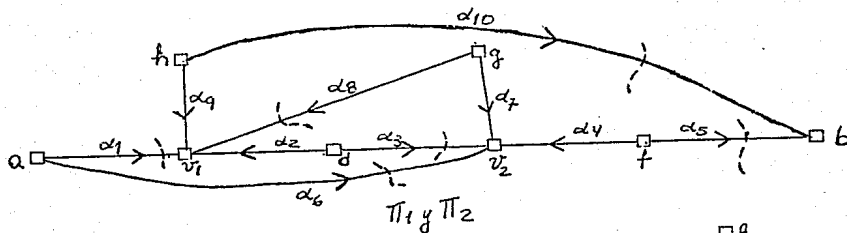
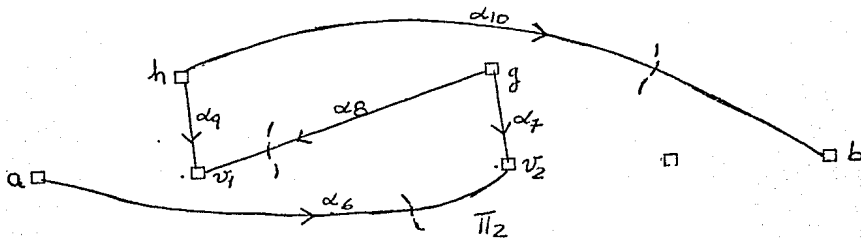
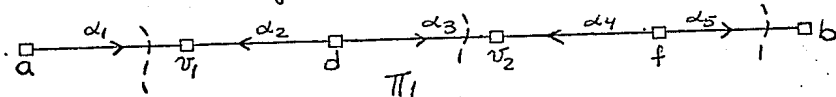
1.a: tenemos que

$\Pi_1' = (a, \Pi_1, v_1)$, $\Pi_2' = (a, \Pi_2, v_1)$ es un par de t-trayectorias decrementales.

1.b: entonces

$\Pi_1^* = (v_1, \Pi_1, b)$ y $\Pi_2^* = (v_1, \Pi_2, b)$ es un par de t-trayectorias con menos de n vértices internos en común, por hipótesis de indección es posible extraer de ellas un par de t-trayectorias decrementales.

Dos trayectorias fuertemente ajenas hacia adelante



$\Pi_1' \text{ y } \Pi_2'$
un par de trayectorias decrementales.

fig. 2.12.

"Que no siempre se está en los templos, no siempre se ocupan los oratorios: horas hay de relación donde el afligido espíritu descansé".

Miguel de Cervantes Saavedra.

CAPITULO III

Un par equicardinal.

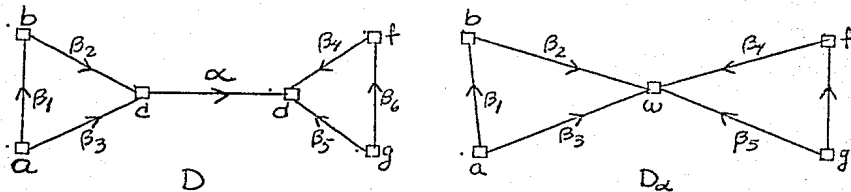
3.1. Contracciones y transversales.

De las secciones anteriores, es posible empezar con una transversal cualquiera, que puede ser $F(D)$, y modificarlo a otra que no contenga pares de trayectorias decrementales, sin embargo, este hecho no garantiza que sea de cardinalidad menor. Esto se demostrará exhibiendo una familia ajena de cortes dirigidos de igual cardinalidad que la transversal - Corolario 2.1.-; el camino es algorítmico basado en inducción sobre el número de vértices de la digráfica.

3.1. Definición. Sea D una digráfica y $\alpha \in F(D)$. La contracción de la flecha α es una nueva digráfica D_α

donde se suprime la flecha α y se identifican sus extremos.

Ejemplo



contracción de α

fig. 3.1.

3.2. Definición. Dado un subconjunto de vértices Y de la digráfica D al contraer sucesivamente las flechas en $D[Y]$ obtenemos una digráfica que denotaremos $Dctr[Y]$.

Estas definiciones y el teorema 3.1. son para cualquier digráfica.

3.1. Teorema. Sea D una digráfica, $T_0 \subseteq F(D)$ y $\alpha \in F(D) - T_0$; T_0 es corte dirigido en D si y solo si T_0 es corte dirigido en D_α .

Demarcación.

\Rightarrow Como $\alpha \notin T_0$, α es una flecha de $D[V^+T_0]$ ó $D[V^-T_0]$, supongamos s.p.g. que α está en $D[V^+T_0]$ y sea $w = \{p_\alpha, n_\alpha\}$, tenemos que

$$V(D_\alpha) = V(D) \setminus \{w\} \cup \{p_\alpha, n_\alpha\}.$$

Mostraremos que

$$T_{D_\alpha}(V^-T_0) = T_0$$

Sea $\beta \in T_0$

entonces $\eta\beta \in V^-T_0$ y $P\beta \in V^+T_0$, es decir $P\beta \in V^+T_0 \cup \{w\} \cup \{p_\alpha, n_\alpha\}$ en D_α ; de donde $P\beta \in V(D_\alpha) - V^-T_0$ y $\beta \in T_{D_\alpha}(V^-T_0)$

Sea $\beta \in T_{D_\alpha}(V^-T_0)$ y u, v sus extremos donde $v \in V^-T_0$, entonces

$u \in V^+T_0 \cup \{w\} \cup \{p_\alpha, n_\alpha\}$; en D $u \in V^+T_0$, es decir $\beta = (u, v)$

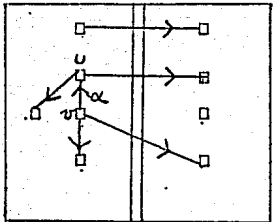
y $\beta \in T_0$.

Por lo cual concluimos que

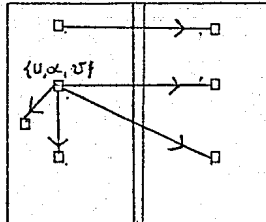
$$T_0^-(V - T_0) = T_0'$$

Además en D_α las subdigráficas $D[V^+T_0]$ y $D[V^-T_0]$ son conexas. $-V_\alpha^+T_0 = V^+T_0 \cup \{w\} - \{p_2, n_d\}$.

(\Leftarrow) Unicamente quitamos la identificación w en D_α para pasar a D . T_0 también es frontera dirigida en D y como $D[V^-T_0]$, $D[V^+T_0]$ son conexas, en D , T_0 será corte dirigido.



T_0 en D



T_0 en D_α

fig. 3.2

3.2 Teorema. Si t es una transversal sin trayectorias decrementales en la digráfica bipartita dirigida entonces existe una familia de subconjuntos de vértices ajenos $\{Y_i / i \in I\}$ tal que

$$V - C \bigcup_{i \in I} Y_i$$

Para cada $i \in I$, $T(Y_i)$ es corte dirigido hacia adentro donde

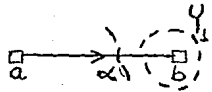
$$|T(Y_i) \cap t| = 1$$

y $T(\bigcup_{i \in I} Y_i)$ es frontera dirigida hacia adentro.

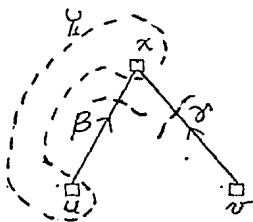
Demonstración

Inducción sobre el número de vértices.

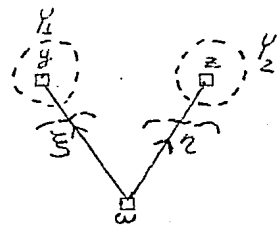
Los casos en que $|V(D)| = 2, 3$ no tenemos problemas en dar la familia $\{Y_i / i \in I\}$, la figura 3.3. muestra las digráficas con 2 o 3 vértices así como sus familias de vértices $\{Y_i\}$.



$$Y_1 = \{b\}.$$



$$Y_1 = \{x, y\}.$$



$$Y_1 = \{y\}, Y_2 = \{z\}.$$

fig. 3.3.

Hipótesis de Inducción. Supongamos que si t' es una transversal sin trayectorias decrementales en una digráfica con menos de n vértices ($n \geq 4$) el resultado se cumple.

Sea D una digráfica bipartita dirigida con n vértices y t una transversal sin par de trayectorias decrementales. Si para todo $v \in V^-$ se cumple que

$$|T(v) \cap t| = 1$$

la familia $\{Y_v = \{v\} / v \in V^-\}$ cumple las condiciones del Teorema

Supongamos que existe $c \in V^-$ tal que

$$|T(c) \cap t| > 1.$$

para este vértice aplicamos el algoritmo A.3. Apéndice A y obtenemos un subconjunto de vértices γ_0 tal que $c \in \gamma_0$, $T(\gamma_0)$ es corte dirigido hacia adentro donde

$$|T(\gamma_0) \cap t| = 1$$

y $Dctr[\gamma_0]$ es bipartito dirigido.

Consideremos $t' = t - F(D[\gamma_0])$, el teorema nos dice que los cortes dirigidos de $Dctr[\gamma_0]$ son aquellos de D que no usan flechas de $D[\gamma_0]$, estos cortes dirigidos se intersectan con t con flechas de t' , es decir t' es una transversal en $Dctr[\gamma_0]$.

Probemos que en $Dctr[\gamma_0]$ no existen t' -trayectorias decrementales.

Supongamos que en $Dctr[\gamma_0]$ existe un par de t' -trayectorias decrementales Π_1, Π_2 y sea y_0 el vértice correspondiente

a y_0 al contraerse. Si y_0 no es vértice de ninguna trayectoria Π_1, Π_2 ; éstas son t-trayectorias decrementales en D . Por lo cual y_0 es vértice en alguna trayectoria de Π_1, Π_2 ; y_0 no es vértice final de ambas ya que

$$|T(y_0) \cap t'| = 1$$

entonces y_0 es vértice interno de una sola trayectoria, digamos Π_1 , sea

$$\Pi_1 = a_1 d_1 a_2, \dots, a_m d_m y_0 d_{m+1} a_{m+2}, \dots, a_r$$

en D se tiene que

$$d_m = (a_m, b_1), d_{m+1} = (a_{m+2}, b_2), b_1, b_2 \in V^+ \cap Y_0.$$

en caso que $b_1 = b_2$, hacemos $b_1 = a_{m+1}$ y entonces

$$\Pi_1 = a_1 d_1 a_2, \dots, a_m d_m a_{m+1} d_{m+1} a_{m+2}, \dots, a_r$$

y Π_2 es un par de t-trayectorias decrementales en D !
entonces $b_1 \neq b_2$.

Por el algoritmo A.3. $D[y_0]$ es conexa, es decir existe $a_* \in V^+ \cap Y_0$ tal que $(a_*, b_1) \in F(D[y_0])$,

Además $t_* = t \cap (F(Y_0))$ es una transversal en $D[Y_0]$.

De donde existe π_* $a_* b_2 - t_*$ -trayectoria en $D[Y_0]$

Entonces

$$\pi_1' = (a_1, \pi_1, b_1) \cup (a_*, b_1) \cup (a_*, \pi_*, b_2) \cup (b_2, \pi_1, a_r)$$

es una t -trayectoria internamente ajena a π_2 . Ver fig. 3.4.
es decir π_1, π_2 es un par de t -trayectorias decrementales en $D[Y_0]$.

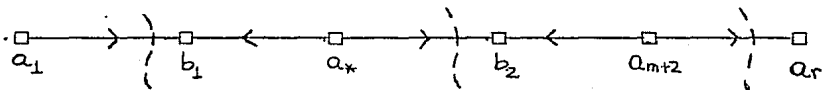


fig. 3.4

En $D[\mathcal{Y}_0]$ no existen t -trayectorias decrementales, y tiene
menos de n vértices, ya que $|\mathcal{Y}_0| > 1$, por hipótesis de inducción
existe una familia ajena de vértices

$$\{Y_i \mid i \in I\}, I \subseteq \mathbb{N}, I \neq \emptyset.$$

tal que

$$V \subset \bigcup_{i \in I} Y_i$$

para cada $i \in I$, $T(Y_i)$ es corte dirigido hacia adentro

donde

$$|\Pi(Y_i) \cap t'| = 1.$$

y $T(\bigcup_{i \in I} Y_i)$ es confronta dirigida hacia adentro.
el vértice y_0 cumple uno de los casos

(i) $\{y_0\} = Y_i$ para algún $i \in I$

(ii) $y_0 \in Y_i$ y $Y_i - \{y_0\} \neq \emptyset$ para algún $i \in I$.

en cualquier situación $\{Y_i | i \in I\}$ cumple las propiedades
del Teorema en D.

3.2. La relación mini-max.

Esta familia de vértices $\{Y_i | i \in I\}$ servirá para formar
una familia de cortes dirigidos ajenos en D y una trans-
versal de cardinalidad mínima, para esto convenimos
en la siguiente notación.

para $i \in I$ sea $D_{Y_i} = D \text{ctr}[V(D) - Y_i]$

y $D_0 = D \text{ctr}[\bigcup_{i \in I} Y_i]$, $t_0 = t \cap F(D_0)$.

3.3. Teorema. Si para cada $i \in I$, D_{γ_i} tiene un par equireciproco $t_{\gamma_i}, d_{\gamma_i}$ tal que $t_{\gamma_i} \cap T(\gamma_i) = t_0 \cap T(\gamma_i)$ entonces

$t_* = \bigcup_{i \in I} t_{\gamma_i}$ es una transversal de los cortes dirigidos en D

y $\mathcal{D} = \bigcup_{i \in I} d_{\gamma_i}$ es una familia ajena de cortes dirigidos.

en D tal que

$$|t_*| = |\mathcal{D}|.$$

Demostración.

Notemos que si $i, j \in I$, $i \neq j$ se tiene que $F(D_{\gamma_i}) \cap F(D_{\gamma_j})$ es vacío; ya que si $\alpha \in F(D_{\gamma_i})$ por construcción $n \in \gamma_i$, como $\gamma_i \cap \gamma_j = \emptyset$ entonces $\alpha \notin F(D_{\gamma_j})$.

Con esto aseguramos que \mathcal{D} es una familia ajena de cortes dirigidos, no vacía, y que

$$|t_*| = |\mathcal{D}|$$

Probemos que t_* es una transversal.

Sea T_0 un corte dirigido en D .

Si T_0 es un corte dirigido en algún D_{Y_i} , se tiene que

$$T_0 \cap t_* \neq \emptyset.$$

Ahora bien si T_0 es un corte dirigido en D_0 , sabemos que $T_0 \cap t_0 \neq \emptyset$, sea de $T_0 \cap t_0$ entonces $n\alpha = y_i$ para alguna $i \in I$, es decir $\alpha \in T(Y_i) \cap t_0$, como por hipótesis $T(Y_i) \cap t_0 = T(Y_i) \cap t_{Y_i}$ tenemos que $\alpha \in t_*$, de donde

$$T_0 \cap t_* \neq \emptyset.$$

Para demostrar que t_* intersecta a un corte dirigido que no está en $D_{Y_i} \forall i \in I$, ni en D_0 usemos lo siguiente.

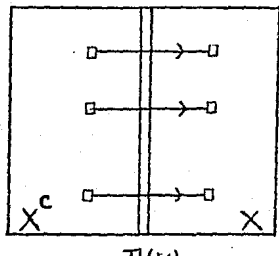
Sea $T(X)$ el corte dirigido hacia adentro, no vacío, donde

$$T(X) \cap t_* = \emptyset$$

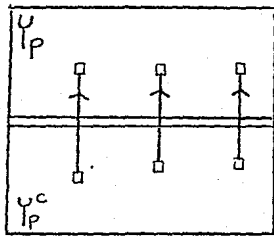
y X es el subconjunto de vértices mayor en cardinalidad con esta propiedad.

Como $T(X)$ no es corte dirigido en D_{Y_i} $\forall i \in I$, ni en D_0 , existe $p \in I$ tal que

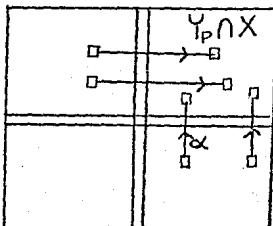
$$Y_p \cap X \neq \emptyset, Y_p \cap X^c \neq \emptyset, X - Y_p \neq \emptyset \text{ y } X^c - Y_p \neq \emptyset.$$



$T(X)$



$T(Y_p)$



$T_c(Y_p \cap X)$.

fig. 3.5

Ya que $Y_p \cap X \subset Y_p$ y D_{Y_p} es conexa se tiene que $T_{D_{Y_p}}(X \cap Y_p)$ es cofrontera dirigida hacia adentro, no vacía

de donde

$$T_{D_{Y_p}}(Y_p \cap X) \cap t_y \neq \emptyset.$$

Si α es una flecha en esta intersección cumple que $p\alpha \in X - Y_p$; ya que si $p\alpha \in X^c$ tenemos que $\alpha \in T(X) \cap t_x$, lo cual no sucede por hipótesis. fig. 3.5.

Ahora bien en D , $T(X \cup Y_p)$ es cofrontera no vacía dirigida hacia dentro donde

$$|X| < |X \cup Y_p|$$

Como se escogió X se tiene que

$$T(X \cup Y_p) \cap t_* \neq \emptyset.$$

Sea β una flecha en esta intersección,

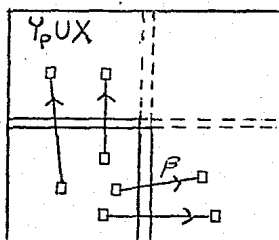


fig. 3.6.

si $n\beta \in Y_p$ como $p\beta \in Y_p^c \cap X^c$ se tiene que

$$\beta \in T(Y_p) \cap t_{Y_p}$$

además $\alpha \neq \beta$, porque $p\beta \in X^c$ y $n\alpha \in X$, pero

$$|T(Y_p) \cap t_{Y_p}| = 1$$

de donde $n\beta \notin Y_p$.

entonces $n\beta \in X - Y_p$ y $p\beta \in X^c$, es decir

$$\beta \in T(X) \cap t_X \quad \delta$$

Ver fig. 3-6.

Con esto probamos que t_X es una transversal de los cortes dirigidos en D .



CAPITULO IV.

EL Algoritmo

El Algoritmo.

Antes de establecer el algoritmo con ayuda del material desarrollado con anterior, probaremos un resultado cuya utilidad esta relacionado con el Teorema 2.1.

4.1 Lema. Sea D una digráfica bipartita dirigida y t una transversal de los cortes dirigidos, si $v \in V^+$ es tal que $T(v) \cap t = \{\alpha\}$ y β es una flecha distinta de α donde $p\beta = v$ entonces existe una transversal t_* tal que $\beta \in t_*$ y $T(v) \cap t_* = \{\beta\}$ y $|t_*| \leq |t|$

Demarcación

A sea Π , $v-n\beta-t$ -trayectoria; como $T(v) \cap t = \{\alpha\}$ Π utiliza como flecha inicial a α .

También $t_\beta = t \cup \{\beta\}$ es una transversal de los cortes dirigidos, y $\Pi' = v\beta(t_\beta)$ es una $(v-n\beta)-t_\beta$ -trayectoria, es decir Π y Π' es un par decremental de t_β -trayectorias. fig. 4.1.

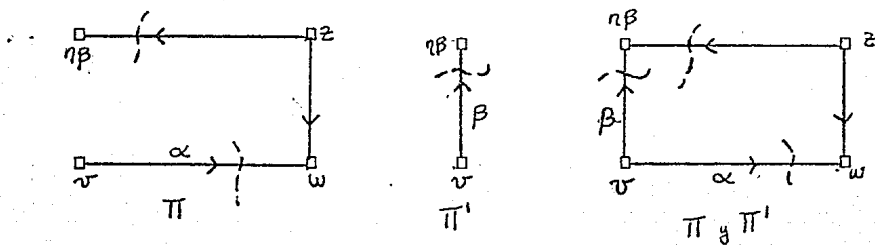


fig. 4.1.

entonces por el teorema

$$t_x = (t_\beta \cup \mathcal{C}_f \Pi) - \mathcal{C}_f \Pi$$

es una transversal donde $\beta \in t_x$, $|t_x| \leq |t|$.

$$T(v) \cap t_x = \{\beta\}$$

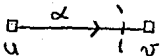
4.1. Teorema (Algoritmo). Sea D una digráfica bipartida conexa y t una transversal de los cortes dirigidos en D entonces Existen t' una transversal de los cortes dirigidos en D y \mathcal{D} una familia ajena de cortes dirigidos tales que

- (i) $|t'| = |\mathcal{D}|$.
- (ii) $|T(v) \cap t'| \leq |T(v) \cap t| \quad \forall v \in V(D)$.

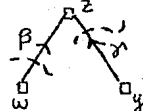
Demonstración.

Inducción sobre el número de vértices.

Para $n=2, 3$. no tenemos problemas : fig. 4.2.

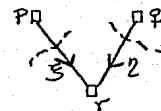


$t = \{u\bar{x}, u\bar{y}\}$ es la única transversal y el único corte dirigido.



$t = \{\beta, \gamma\}$, la única transversal.
 $\mathcal{D} = \{\beta\bar{y}, \gamma\bar{z}\}$.

fig. 4-2.



$t = \{\xi, \eta\}$ la única transversal.
 $\mathcal{D} = \{\xi\bar{r}, \eta\bar{s}\}$.

Hipótesis de Inducción. Supongamos que si D' es una digráfica bipartita dirigida y \hat{t} es una transversal el teorema se cumple. - Donde $|V(D')| < n$ - .

Sea D una digráfica bipartita dirigida conexa y t una transversal. - Donde $|V(D)| = n$. - .

Si encontramos un par de t -trayectorias decrementales Π_1 y Π_2 entonces $t_1 = (t \cup c_f \Pi_1) - c_f \Pi_2$ es una transversal sea $v \in V(D)$

(a) Si v no es vértice de Π_1 se tiene que

$$|\bar{T}(v) \cap t_1| = |\bar{T}(v) \cap t|$$

(b) Si v pertenece a Π_1 tenemos

$$|\bar{T}(v) \cap t_1| \leq |\bar{T}(v) \cap t|.$$

Al llegar a una transversal \hat{t} sin trayectorias decrementales entonces

$$|\bar{T}(v) \cap \hat{t}| \leq |\bar{T}(v) \cap t| \quad \forall v \in V(D)$$

(a.1) Si $v \in V^-$, cumple

$$|T(v) \cap \tilde{E}_0| = 1$$

$\mathcal{D} = \{T(v) \mid v \in V^-\}$ es una familia ajena de cortes dirigidos donde $|\tilde{E}_0| = |\mathcal{D}|$.

(a.2). Si $v \in V^+$

$$|T(v) \cap \tilde{E}_0| = 1$$

$\mathcal{D} = \{T(v) \mid v \in V^+\}$ es una familia ajena de cortes dirigidos donde $|\tilde{E}_0| = |\mathcal{D}|$.

Supongamos que no sucede (a.1) o (a.2),

por el teorema 3.2. sea $\mathcal{Y} = \{Y_i \mid i \in J\}$ la familia ajena de subconjuntos de vértices tales que

$$V^- \subset \bigcup_{i \in J} Y_i.$$

$T(Y_i)$ es corte dirigido hacia adentro donde

$$|T(Y_i) \cap \tilde{E}_0| = 1.$$

y $T(\bigcup_{i \in J} Y_i)$ es confrontera dirigida hacia adentro.

Sea $D_i = D_{Y_i}$ $i \in J$.

para cada $i \in J$, D_i cumple las hipótesis de inducción, donde $t_i^\circ = T_0 \cap F(D_i)$ es una transversal de los cortes dirigidos en D_i . es decir existen t_i^* transversal y \mathcal{D}_i familia ajena de cortes dirigidos en D_i tales que

$$(i) |t_i^*| = |\mathcal{D}_i|$$

$$(ii) |T(v) \cap t_i^*| \leq |T(v) \cap t_i^\circ| \quad \forall v \in V(D_i).$$

la relación (ii) en particular nos dice que

$$|T(Y_i) \cap t_i^*| \leq |T(Y_i) \cap t_i^\circ|$$

como

$$|T(Y_i) \cap t_i^\circ| = |T(Y_i) \cap t_0| = 1$$

entonces

$$|T(Y_i) \cap t_i^*| = 1.$$

Ahora bien si $D_0 = D \cap \bigcup_{i \in I} Y_i$, $t_0 = \widehat{t}_0 \cap F(D_0)$ es una transversal de los cortes dirigidos en D_0

Si $T(Y_i) \cap t_i^* \neq T(Y_i) \cap t_0$

sea $\{d_i\} = T(Y_i) \cap t_0$, por el lema 4.1. existe una transversal t_i tal que $d_i \in t_i$, $T(Y_i) \cap t_i = \{d_i\}$ y $|t_i| \leq |t_i^*|$, como t_i^* es una transversal de cardinalidad mínima, $|t_i| = |t_i^*|$, tenemos entonces para cada $i \in J$ una pareja equicardinal t_i, d_i por $t' = \bigcup_{i \in J} t_i$ es una transversal de los cortes dirigidos en D y

$\emptyset = \bigcup \{d_i \mid i \in J\}$ es una familia ajena de cortes dirigidos en D .

Por otra parte, sea $v \in V(D)$

si $v \in Y_i$ para alguna $i \in I$, tenemos

$$|T(v) \cap t_i| = |T(v) \cap t'| \leq |T(v) \cap t_1|$$

si $v \in V^+(D) \cap V(D_0)$.

$$|T(v) \cap t'| = |T(v) \cap \widehat{t}_0| \leq |T(v) \cap t_1|$$

es deur

$|T(\text{point})| \leq |T(\text{point})|_{\text{trueVCD}}$.

REVIEWED

Algoritmo.

P.1. Sea t una transversal.

P.2. Encuéntrese t' transversal sin trayectorias decrementales.

P.3. (i) Si $\forall v \in V^+, |T(v) \cap t'| = 1$, t' y $\mathcal{D} = \{T(v) | v \in V^+\}$ es el par equicardinal.

(ii) Si $\nexists v \in V^-$, $|T(v) \cap t'| = 1$, t' y $\mathcal{D} = \{T(v) | v \in V^-\}$ es el par equicardinal.

P.4. Si P.3. no sucede. Hágase la familia $\{Y_i\}$.

P.5. Para D_{Y_i} encuéntrese una par t_i , \mathcal{D}_i

P.6. Sea $t_0 = t' \cap F(D_0)$, hagamos que

$$|T(Y_i) \cap t_0| = |T(Y_i) \cap t_0| = 1$$

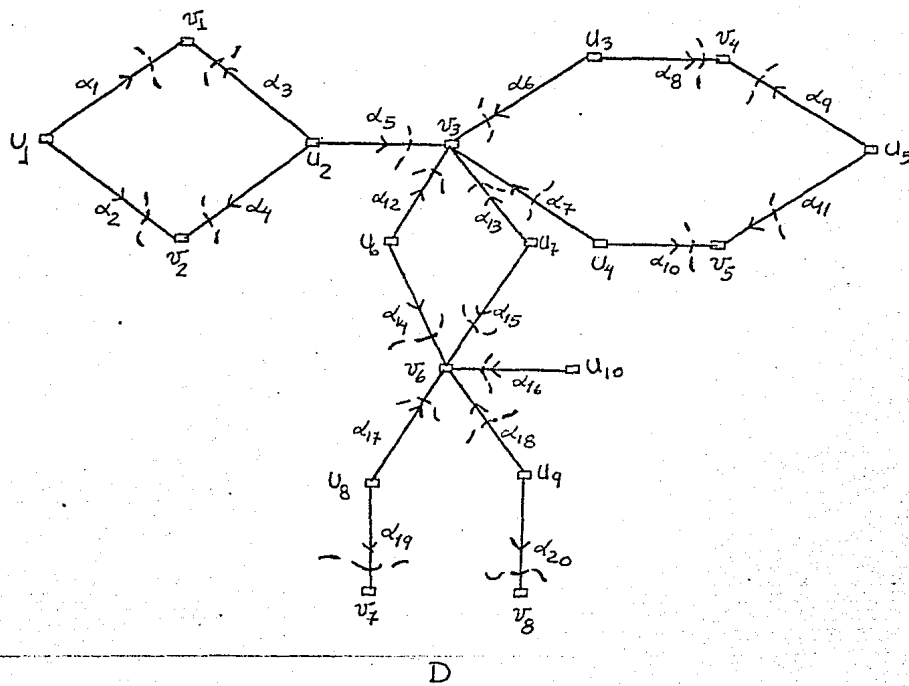
P.7. $t = \cup t_i$, $\mathcal{D} = \cup \mathcal{D}_i$ es el par equicardinal.

4.2 Ejemplos.

Ilustramos el uso del algoritmo, omitiendo algunos pasos que pueden ser reconstruidos fácilmente.

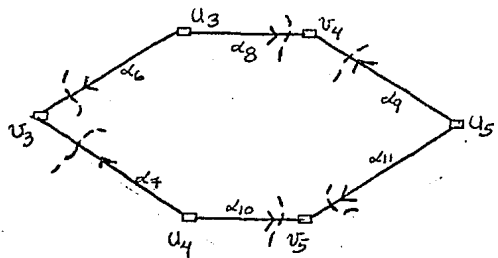
Ejemplo. 1

1). Iniciamos con $t = F(D)$.



(2) Encontramos una transversal sin trayectorias decrementales.

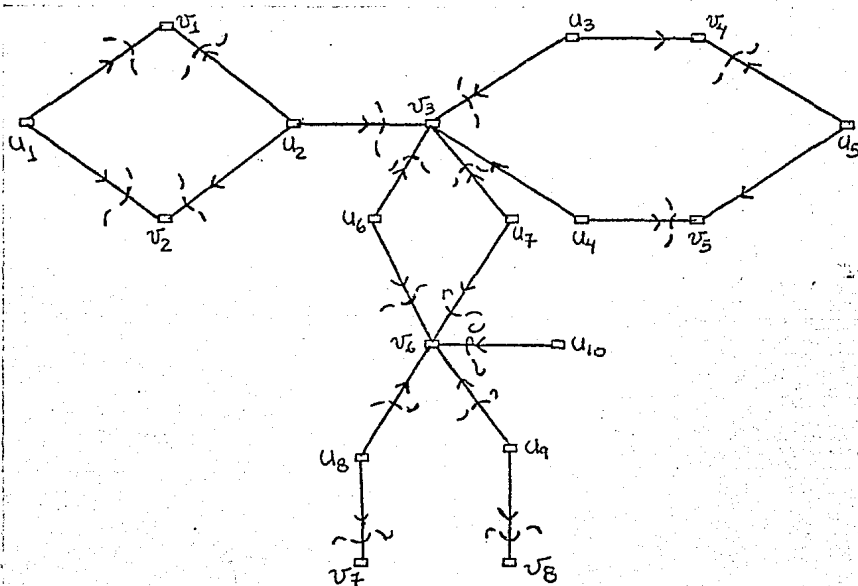
(2.a).



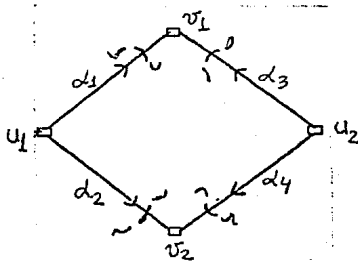
$$\Pi_1 = u_4 \alpha_7 + v_3 \alpha_6 \quad v_3 \alpha_8 \quad v_4 \alpha_9 \quad u_5 \alpha_{11} \quad v_5 \quad ; \quad \Pi_2 = u_4 \alpha_{10} \quad v_5.$$

Par de trayectorias decrementales.

Nueva transversal, t_1 .



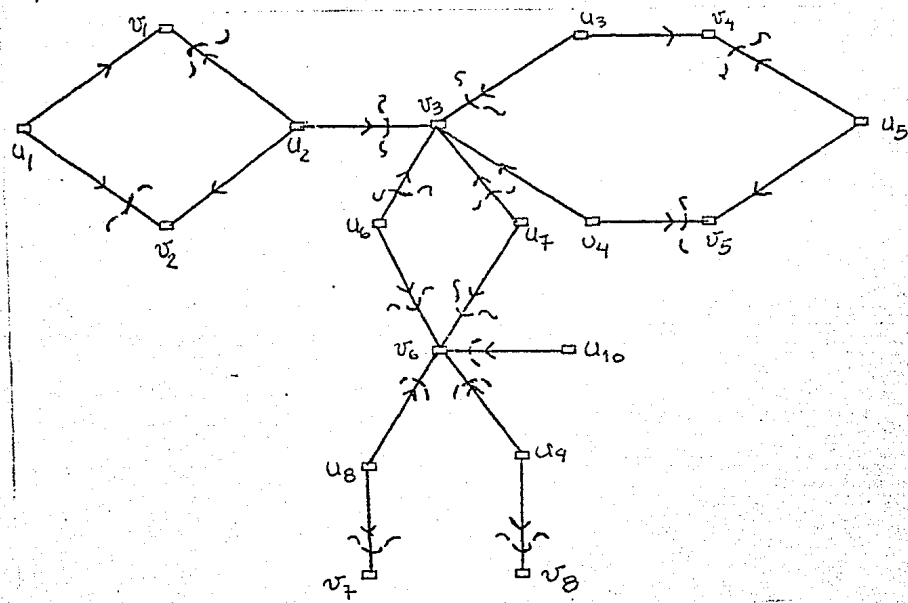
(2.b)



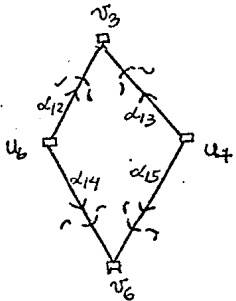
$$\Pi_1 = u_1 d_1 v_1 d_3 u_2 d_4 v_2 \quad ; \quad \Pi_2 = u_1 d_2 v_2$$

par de trayectorias decrementales

Nueva transversal, t_2



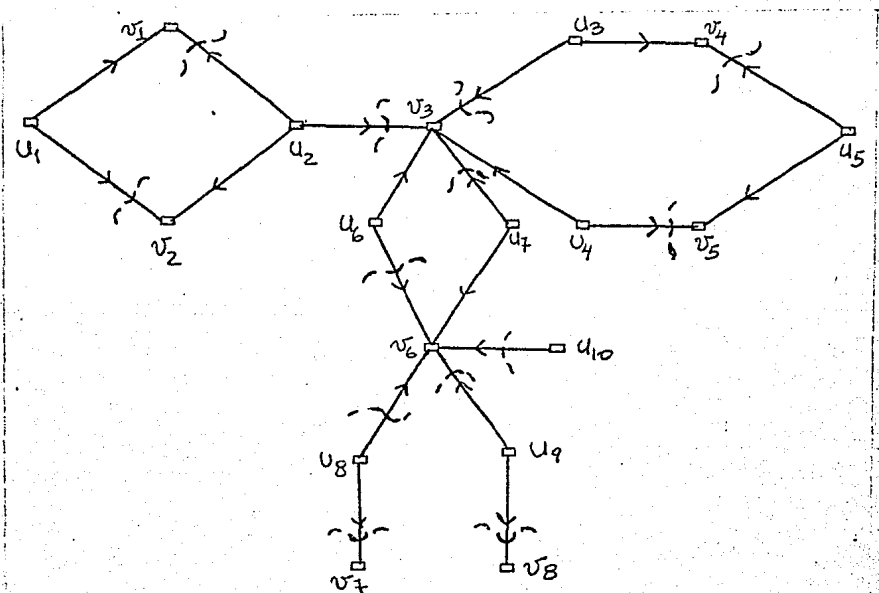
(2.c).



$$\Pi_1 = v_6 d_{12} v_3 d_{13} u_7 d_{15} v_6 \quad ; \quad \Pi_2 = v_6 d_{14} v_6$$

par de trayectorias decrementales.

Nueva transversal. t_3



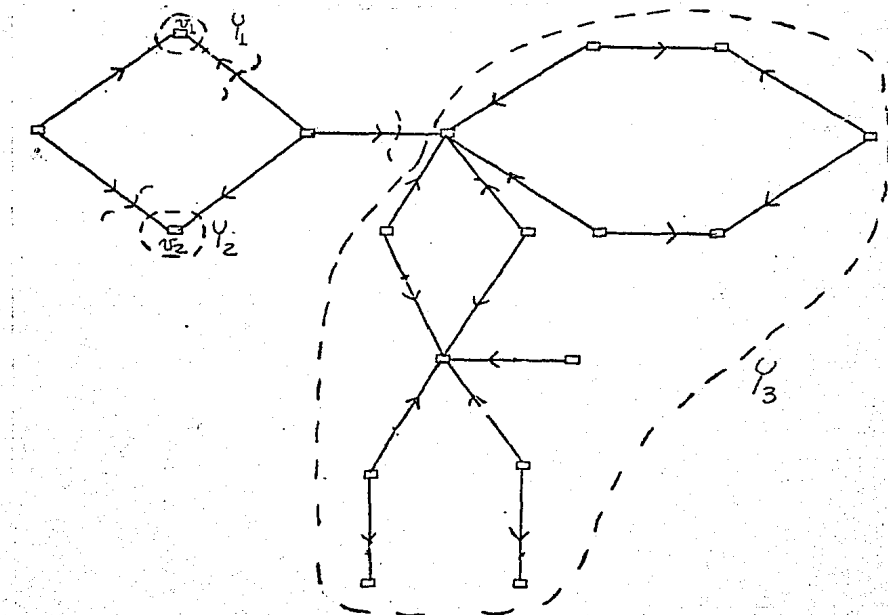
t_3 no tiene trayectorias decrementales.

3. (a) $v_3 \in V^-$ y $|T(v_3) \cap t_3| = 3$.

(b) $v_2 \in V^+$ y $|T(v_2) \cap t_3| = 2$.

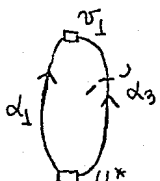
4. Encontramos la familia $\{Y_i\}$.

$$Y_1 = \{v_1\}, \quad Y_2 = \{v_2\} \quad y \quad Y_3 = \{v_3, v_4, v_5, v_6, v_7, v_8, v_9, v_{10}, v_3, v_4, v_5, v_6, v_7, v_8\}.$$



5. Las subdigraficas D_{Y_i} : $i=1,2,3$.

D_{Y_1}

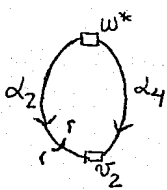


D_{Y_1}

Un par equicardinal.

$$t'_1 = \{d_3\} \quad d\mathcal{O}_1 = \{T(v_1)\}.$$

D_{Y_2}

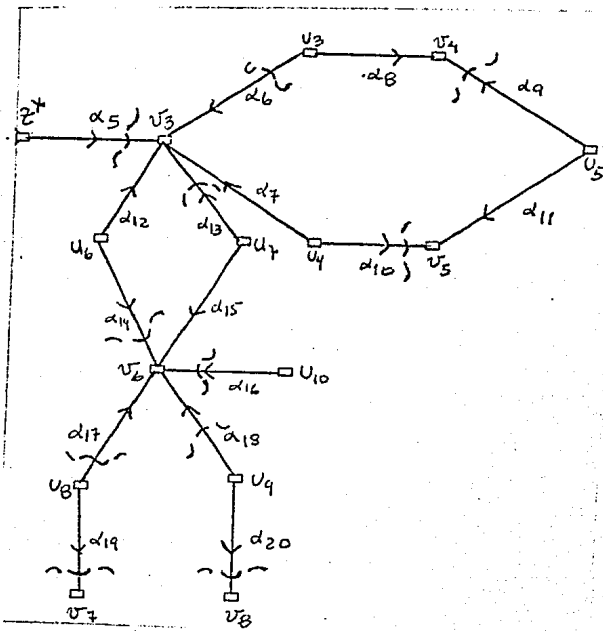


D_{Y_2}

Un par equicardinal.

$$t'_2 = \{d_2\} \quad d\mathcal{O}_2 = \{T(v_2)\}.$$

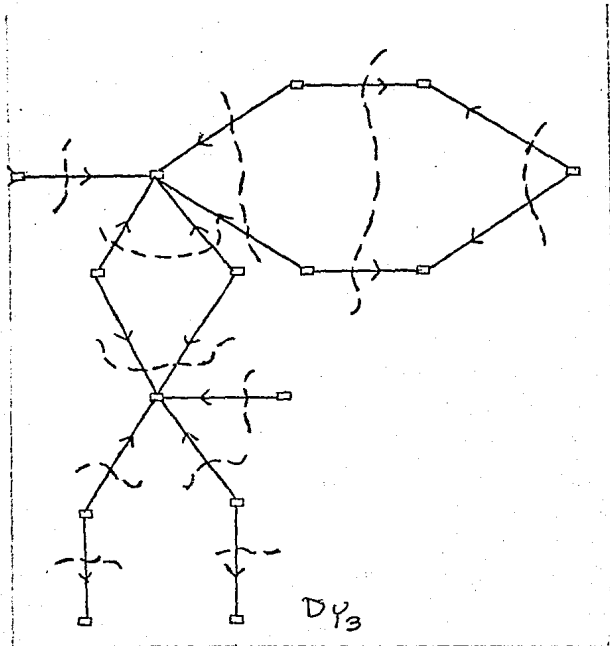
Dy₃



Dy₃

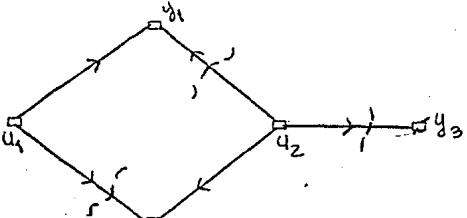
Un par equireciproco.

$$t'_3 = \{d_5, d_6, d_9, d_{10}, d_{13}, d_{14}, d_{16}, d_{17}, d_{18}, d_{19}, d_{20}\}.$$



DY_3

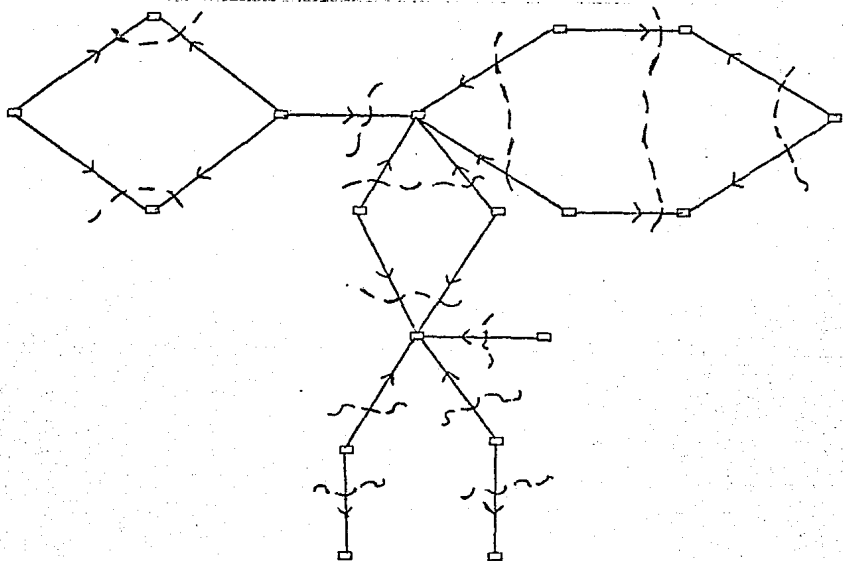
Familia ajena de cortes dirigidos.



$$D_0 = \text{Dctr} \left[\bigcup_{i=1}^3 Y_i \right], \text{ to una transversal.}$$

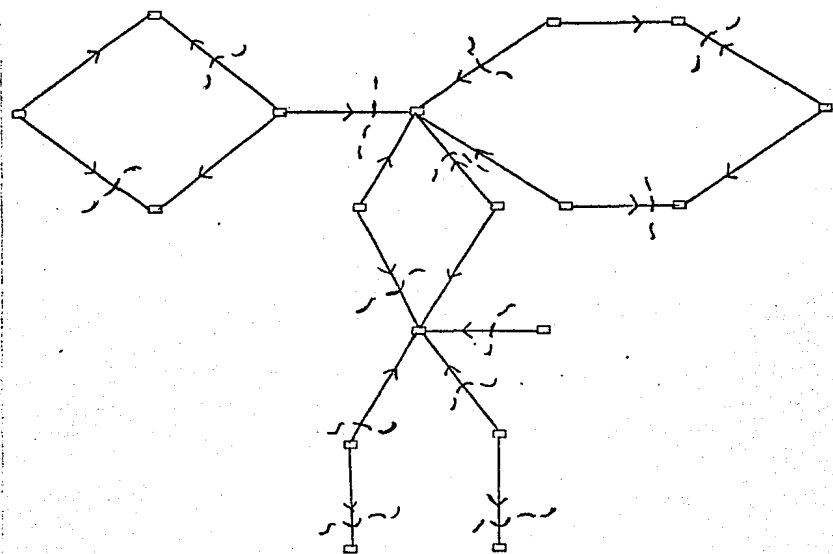
Se tiene que $T(Y_i) \cap t_i^* = T(Y_i) \cap t_0$.

6. Un par equicardinal.



Familia ajena de cortes dirigidos.

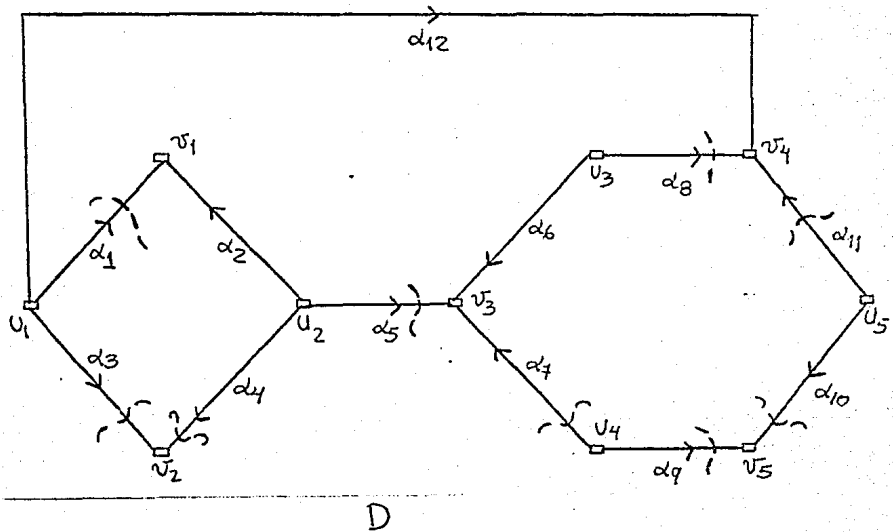
la. transversal.



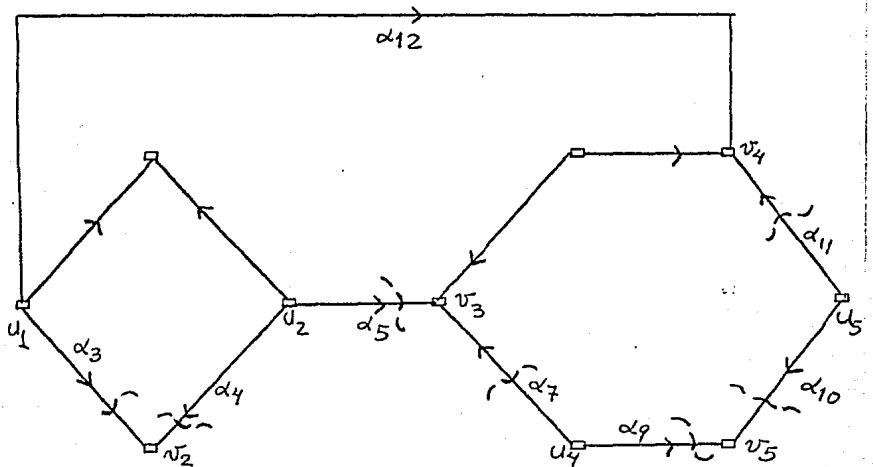
Ejemplo 2.

Iniciamos con

$$t = \{d_1, d_3, d_4, d_5, d_7, d_8, d_9, d_{10}, d_{11}\}.$$



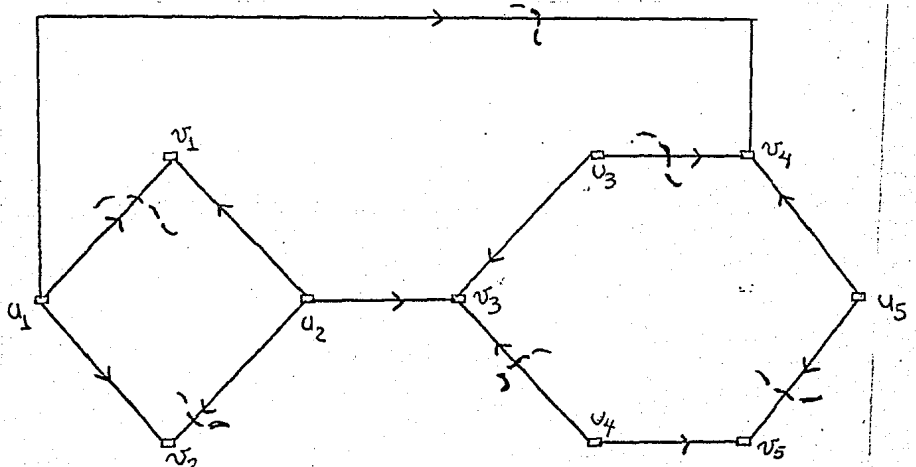
2. Encontrar trayectorias decrecientes.



$$Tl_1 = U_5 \alpha_{11} V_4 \alpha_{12} U_1 \alpha_3 V_2 \alpha_4 U_2 \alpha_5 V_3 \alpha_7 V_4 \alpha_9 V_5 ; Tl_2 = U_5 \alpha_{10} V_5$$

Par de Trayectorias decrementales.

Nueva transversal. t_1 .



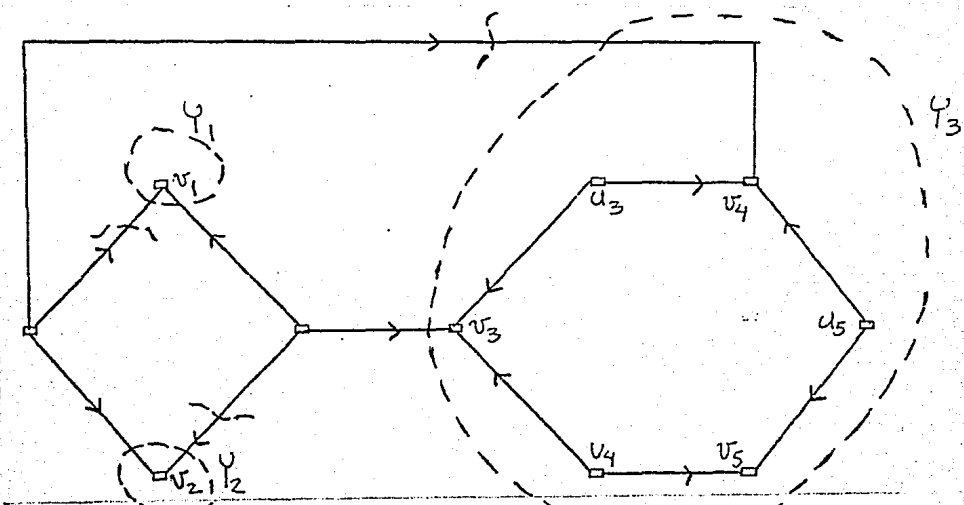
t_j no tiene trayectorias decrementales.

3. (a) $v_4 \in V^-$ y $|T(v_4) \cap t_3| = 2$

(b) $u_1 \in V^+$ y $|T(u_1) \cap t_3| = 2$.

4. Encontrar la familia $\{Y_i\}$.

$$Y_1 = \{v_1\}, Y_2 = \{v_2\}, Y_3 = \{v_3, u_3, u_4, v_4, v_5, u_5\}.$$



5. Trabajar con D_{Y_i} .



Un par equicardinal en D_{Y_1}

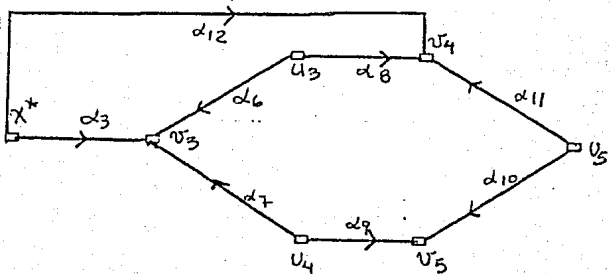
$$t^{(1)} = \{d_{14}, \alpha_1 = \{\overline{T}(v_1)\}\}.$$



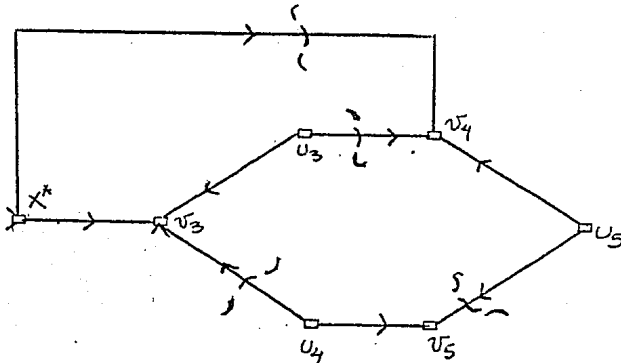
Un par equicardinal en D_{Y_2}

$$t^{(2)} = \{d_{44}, \alpha_2 = \{\overline{T}(v_2)\}\}.$$

D_{Y_3}

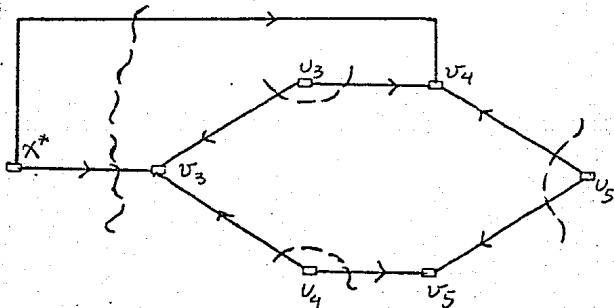


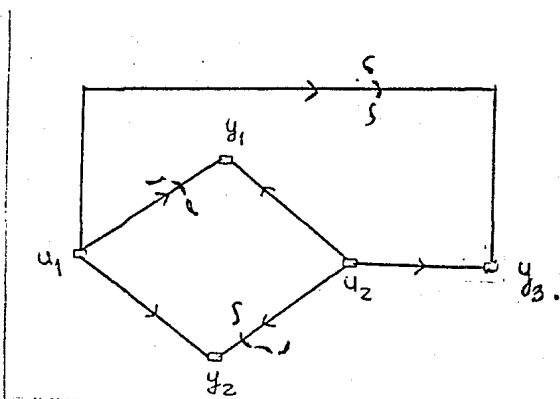
una transversal. $t^{(3)}$



Notamos que $|T(v) \cap t^{(3)}| = 1 \quad \forall v \in V^+$

Familia ajena de cortes dirigidos





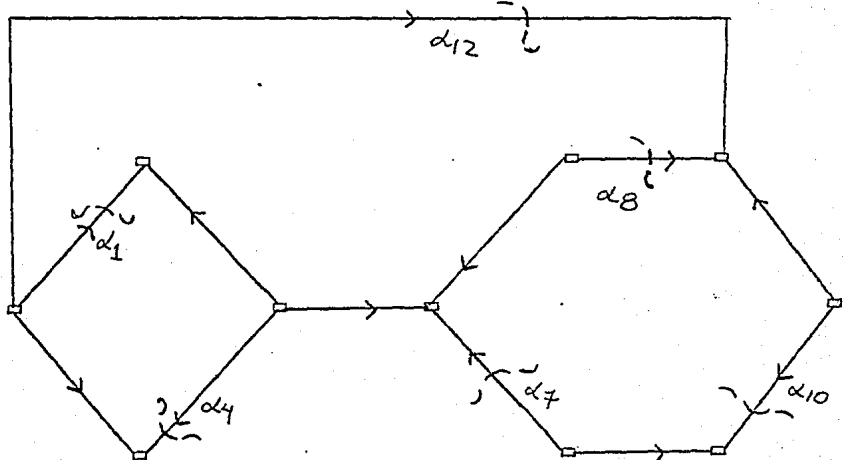
$$D_0 = \text{Cart} \left[\bigcup_{i=1}^3 Y_i \right]$$

una transversal $t_0 = t_1 \cap F(D_0)$.

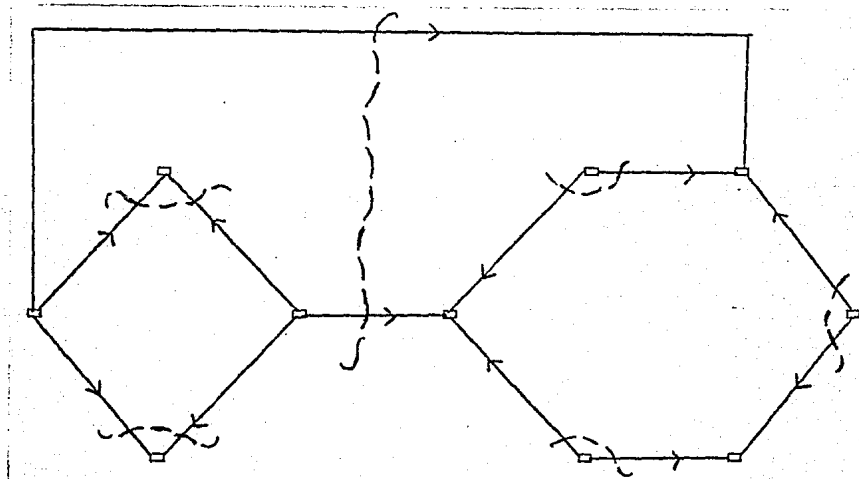
Notemos que

$$|T(Y_i) \cap t_0^{(l)}| = |T(Y_i) \cap t_0| = L.$$

6. Formar la pareja equicardinal.



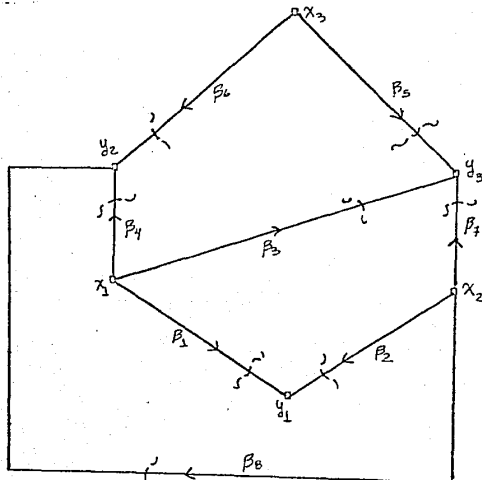
Transversal



Familia ajena de cortes rígidos.

Ejemplo. 3

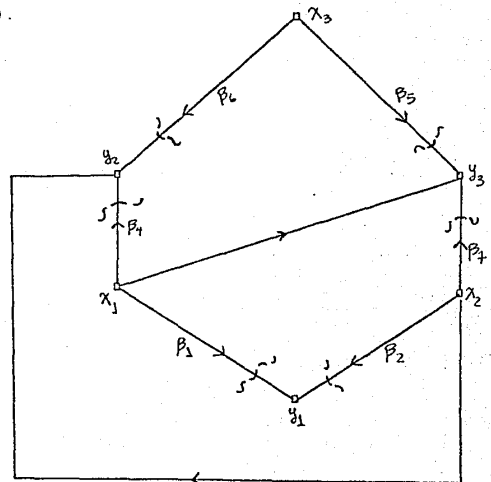
1. Iniciamos con $t = F(D)$.



D.

2. Encontrar trayectorias decrementales.

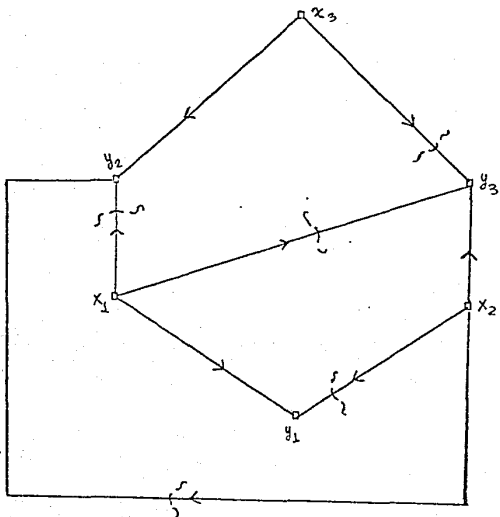
2.(a).



$$\Pi_1 = x_1 \beta_3 y_1 \beta_2 x_2 \beta_4 y_2 \beta_3 x_3 \beta_5 y_2 ; \Pi_2 = x_1 \beta_4 y_2$$

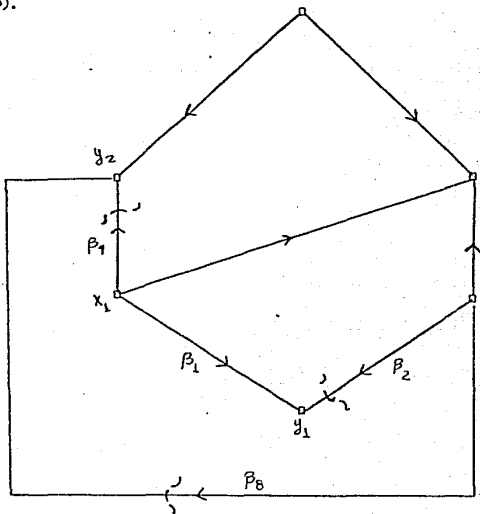
par de trayectorias decrementales.

Nueva transversal. t_1



92

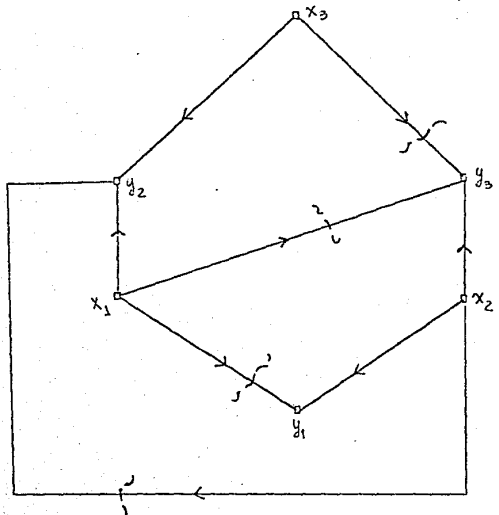
2.(b).



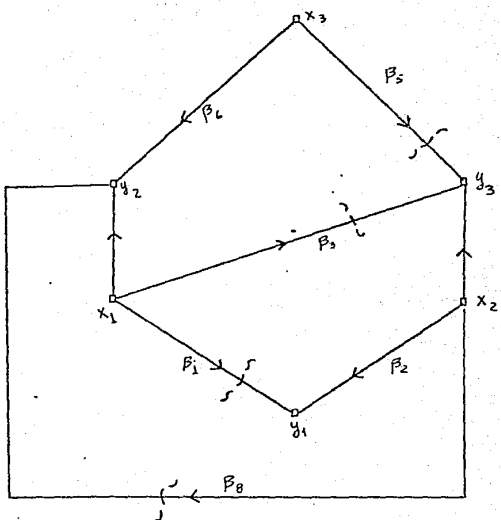
$$\Pi_1 = x_2 \beta_2 y_1 \beta_1 x_1 \beta_1 y_2 ; \quad \Pi_2 = x_2 \beta_2 y_2$$

par de trayectorias decrecientes

Nueva transversal t_2



2(c).

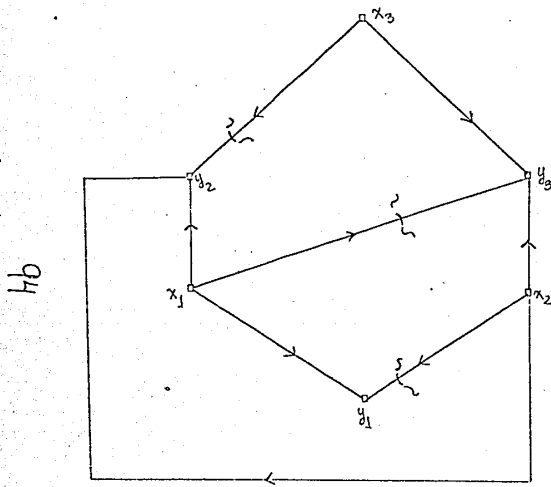


$$\Pi_1 = x_1 \beta_1 y_1 \beta_2 x_2 \beta_3 y_2 \beta_4 x_3 \beta_5 y_3 ; \quad \Pi_2 = x_1 \beta_3 y_3$$

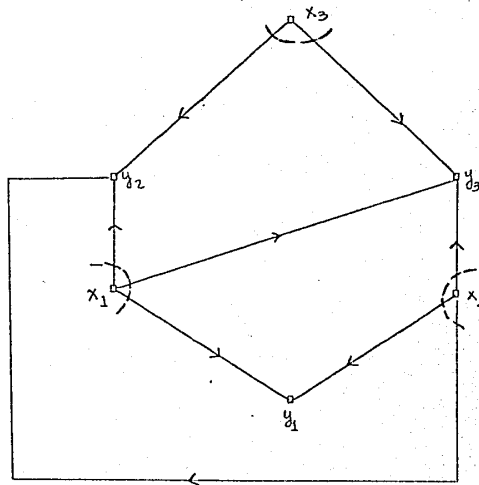
par de trayectorias decrecientes.

$$3. \forall x \in V^+, |P(x) \cap t| = L$$

Nueva transversal. t_3

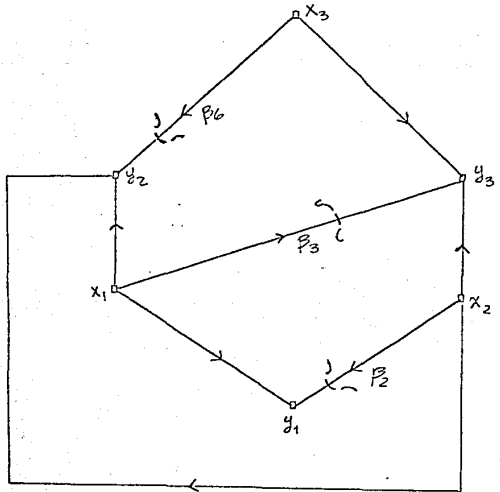


t_3 no tiene trayectorias decrecientes.



Familia σ de cortes dirigidos.

transversal de cardinalidad máxima.



$$t_3 = \{\beta_2, \beta_3, \beta_6\}.$$

"Usted compró mucho de mí y por nada. Por una sonrisa, una inclinación de cabeza, un saludo con la mano y algunas copas tomadas en un bar tranquilo y confortable. Fue agradable mientras duró. Hasta la riña. No le digo adios. De lo dije cuando tenía algún significado. De lo dije cuando era triste solitario y final"

Philip Marlowe.

en el "Largo adios".

APENDICE

A.

Algunos Algoritmos

A.1. Algoritmo para encontrar una t -trayectoria.

El algoritmo para una t -trayectoria es el que se utiliza en gráficas y digráficas para trayectorias de longitud mínima [2], . Para establecerlo necesitamos el siguiente concepto.

a.1. Definición. Para $u \in V(D)$, los vecinos de u en D es el conjunto de vértices

$$N(u) = \{v \in V(D) / (u, v) \in F(D) \text{ ó } (v, u) \in F(D)\}.$$

También se usan las siguientes etiquetas temporales y permanentes para los vértices.

$E(v)$ etiqueta temporal en el vértice v .

$E^*(v)$ etiqueta permanente en el vértice v .

$h(v)$ etiqueta permanente en el vértice v .

Los conjuntos

$$E = \{v \in V(D) \mid v \text{ tiene etiqueta temporal } E(v)\}$$

$$E^* = \{v \in V(D) \mid v \text{ tiene etiqueta permanente } E^*(v)\}.$$

La etiqueta permanente $E^*(v)$ nos dirá cuando alcanzaremos el vértice deseado en V^- . La etiqueta $h(v)$ permite recobrar la t -trayectoria.

Los pasos P.6 y P.7 funcionan como un "loop", igualmente los pasos P.8 y P.2 (en ese orden).

A.1. Algoritmo para encontrar una t -trayectoria con origen $a \in V^+$ y final $b \in V^-$.

A.1. Algoritmo para encontrar una t -trayectoria con origen $a \in V^+$ y final $b \in V^-$.

P.O. (Peso a las flechas). Sea $\omega: F(D) \rightarrow \{0, 1\}$ dada por $\omega(d) = 0$, si $d \in t$; $\omega(d) = 1$ si $d \notin t$.

P.1. (Inicio). Hagamos $\varepsilon^*(a) = 0$ y $\varepsilon(v) = \infty$ para $v \neq a$.

Sea $a = p$

P.2. (Actualización de etiquetas) Si $u \in N(p)$ y tiene etiqueta temporal, actualizar de acuerdo con

$$\varepsilon(u) = \min\{\varepsilon(u), \omega(p, u)\}.$$

P.3. Sea $\mathcal{U} = \{u \mid \varepsilon(u) = 0\}$

P.4. (Etiquetación permanente). Si $u \in \mathcal{U}$, sea $\varepsilon^*(u) = 0$ y $h(u) = p$.

P.5. (i) Si $b \in U$, hemos encontrado una ab-t-trayectoria

$$\pi = a, \dots, h(h(b)), h(b), b.$$

(ii) Si $b \notin U$, ir a P.6.

P.6. Para cada $u \in U$, sea $u = \varphi$

P.7. (Etiquetación permanente). Si $x \in N(\varphi)$ y tiene etiqueta temporal $\varepsilon(x)$, sea $\varepsilon^*(x) = 0$ y $h(x) = \varphi$.

P.8. Sea $x = p$ ir a P.2.

P.9. (Final) terminamos cuando P.5.(ii) se cumpla.

Como $T(a)$ es cofrontera dirigida, el inicio del algoritmo puede hacerse. Ahora bien lo que garantiza encontrar la t -trayectoria es el siguiente resultado.

a.1. Teorema. En cualquier iteración de A.1. si no hemos llegado a b , se tiene en P.3. que $\mathcal{U} \neq \emptyset$. En consecuencia una nueva iteración de A.1. se puede realizar.

Demonstración.

Supongamos que hemos realizado n -iteraciones de A.1. y no hemos llegado al vértice b . (hasta antes de P.2).

Sea $E_n^* = \{v \in V(D) | \varepsilon^*(v) = 0\}$, hasta la iteración n . entonces $E_n^* \neq \emptyset$, ya que $a \in E_n^*$, y $(E_n^*)^c \neq \emptyset$, ya que $b \notin E_n^*$. Como D es conexa, $T(E_n^*) \neq \emptyset$.

Sea $\alpha = (y, z) \in T(E_n^*)$

Si $z \in E_n^*$, tenemos que $\varepsilon^*(z) = 0$ se hizo en la iteración m , $1 \leq m \leq n$; de donde y tiene etiqueta temporal

después de la iteración n , también tiene etiqueta temporal en la iteración m , por lo cual en P.F. de la iteración m hicimos $\varepsilon^*(y) = 0$ i.e. $y \in E_n^*$ β

De donde $y \in E_n^*$ y $T(E_n^*)$ es cofrontera dirigida hacia adelante, por lo cual existe $\beta \in T(E_n^*) \cap$ con $\varepsilon^*(p\beta) = 0$, $\varepsilon(n\beta)$ temporal y $\omega(\beta) = 0$
 $\therefore u \neq \emptyset$.

A.2. Algoritmo para encontrar un par de t-trayectorias ajenas hacia adelante.

Usamos las etiquetas permanentes y temporales descritas en A.1. Iniciamos con una ab-t-trayectoria π , obtenida posiblemente de A.1., que puede cambiar en el transcurso del algoritmo; esta trayectoria sirve de pivote. Se define una función de peso en las flechas que dependen de t y π .

La idea del algoritmo es la misma que en A.1., se hace crecer una red de t-trayectorias con origen en a , ajenas hacia adelante con π . Cuando no sea posible seguir este camino será por dos motivos.

(1) La frontera dirigida hacia adelante que se analiza tiene una sola flecha en t . De aquí la imposibilidad de obtener el par de t-trayectorias ajenas hacia adelante.

(2) La cofrontera dirigida hacia adelante tiene más de una flecha en t , las cuales pertenecen a Π , entonces cambiamos de trayectoria pivote, de función de peso en las flechas, etiquetamos nuevos vértices y seguimos creciendo la red de t -trayectorias. La operación de la t -trayectoria es como en A.I.

A.2. Algoritmo para encontrar un par de t -trayectorias ajenas hacia adelante con origen ac V^+ y final en $b \in V^-$.

M.O. (Peso a las flechas). Π es una ab- t -trayectoria.

Sea $w: F(D) \rightarrow \{0, 1\}$ dada por $w(\alpha) = 0$ si $\alpha \in t - \alpha_f \Pi$, $w(\alpha) = 1$ si $\alpha \notin t - \alpha_f \Pi$.

M.I. (Inicio). Hagamos $E^*(a) = 0$ y $E^*(v) = \infty$ para $v \neq a$.
Sea $a = p$, incorporar a en E^* .

M.2. (Actualización de etiquetas). Para $v \in N(p)$ con etiqueta temporal actualizar de acuerdo a

$$\varepsilon(v) = \min\{\varepsilon(v), \omega(p, v)\}$$

M.3. Sea $\beta = \{v | \varepsilon(v) = 0\}$.

(i) Si $\beta \neq \emptyset$ ir a M.4.

(ii) Si $\beta = \emptyset$ ir a R.1.

M.4. (Etiquetación permanente). Si $v \in \beta$, hacer $\varepsilon^*(v) = 0$
y $h(v) = p$, incorporar v en E^*

M.5. (Buscando la t-trayectoria ajena hacia adelante con π)

(i) Si $b \in \beta$, $\pi' = a, \dots, h(h(b)), h(b), b$

es ab-t-trayectoria ajena hacia adelante con π .

(ii) Si $b \notin \beta$ ir a M.6.

M.6. Para cada $v \in \beta$ sea $v = \varphi$.

M.7. (Etiquetación permanente). Si $y \in N(\varphi)$ con etiqueta temporal hacer $\varepsilon^*(y) = 0$, $h(y) = \varphi$, incorporar y en E^*

M.8. Sea $y = p$ ir a M.2.

Cambio de trayectoria Π .

R.L. $\beta = \emptyset$

Como $T(E^*) \cap t \neq \emptyset$, tenemos dos casos.

(i) $|T(E^*) \cap t| = 1$

Sea $X = E^*$ entonces $a \in X$ y $b \in V(D) - X$.

(ii) $|T(E^*) \cap t| > 1$ ir a R.2.

R.2. Sea $\alpha \in T(E^*) \cap c_f \Pi$ la última flecha de Π con esta propiedad, y sea

$W = \{v \in V(D) / v \text{ está en } \Pi \text{ antes de } p\}$.

$\Pi' = a, \dots, h(h(p)), h(p), p$.

R.3. (Etiquetación Permanente). Sea $v \in W$ con etiqueta temporal, hacer $\varepsilon^*(v) = 0$, incorporar v en E^* ; $h(v) = z$ si y solo si (z, v) está en Π ó (v, z) está en Π .

R.4. (Etiquetación permanente) Si $x \in V \cap W$ y $u \in N(x)$ tiene etiqueta temporal, hacer $\varepsilon^*(u) = 0$, $h(u) = x$. Incorporar x en E^* .

R.5. (Cambio de t-trayectoria).

Sea $\Pi = (a, \Pi', p_1) \cup (n_2, \Pi, b)$

la nueva ab-t-trayectoria pivote.

R.6. (Cambio de peso en las flechas).

Hacer M.O.

R.7. Para cada vértice con etiqueta permanente hacer $v = p$ ir a M.2.

F. (Final) Terminamos cuando M.5.(i) ó R.1.(i) se cumpla.

A.3. Algoritmo para encontrar un corte dirigido hacia adentro con una sola flecha en t.

En esta parte trabajamos con una transversal que no contiene pares de trayectorias decrementales. el algoritmo es similar a A.1. usamos sus etiquetas temporales y permanentes. Si $c \in V^-$ y tiene más de una flecha de t en $T(c)$, se encontrará un subconjunto de vértices Y donde $c \in Y$, $T(Y)$ sea corte dirigido hacia adentro con una sola flecha en t.

A.3. Algoritmo para encontrar un corte dirigido hacia adentro con una sola flecha en t.

S.O. Sea t una transversal de cortes dirigidos que no contiene pares de trayectorias decrementales.

Sea $c \in V^-$ tal que $T(c) \cap t = \{d_1, \dots, d_r\}$ $r > 1$.

Definimos $w: F(D) \rightarrow \{0, 1\}$ como $w(d) = 0$ si $d \in t - \{d_1\}$.

y $w(\alpha) = 1$ si $\alpha \notin t - \{ \alpha \}$.

S.1. (Inicio). Sea $E^*(c) = 0$ y $E(v) = \infty$ para $v \neq c$.
Sea $c = p$. Incorporamos c en E^* .

S.2. (Actualización de etiquetas). Para $v \in N(p)$ con etiqueta temporal actualizar de acuerdo con

$$E(v) = \min\{E(v), w(v, p)\}.$$

S.3. Sea $Z = \{v | E(v) = 0\}$.

S.4. (Etiquetación permanente). Para $v \in Z$ hacer
 $E^*(v) = 0$ y Incorporamos $v \in E^*$

S.5. Sea $v = \varphi$.

S.6. Para cada $u \in N(\varphi)$ con etiqueta temporal hacer
 $E^*(u) = 0$ y Incorporamos $u \in E^*$

S.7. Sea $u=p$ ir a S.2.

S.8. (Final). terminamos cuando en S.3. $Z=\emptyset$.
Sea $Y=E^*$

En el paso S.2. formamos una frontera dirigida hacia adentro; en S.3. tomamos las flechas de esta frontera en el transversal, es evidente que en algun momento Z es vacío. Si E^* es el conjunto de vértices etiquetados permanentemente al final de aplicar el algoritmo A.3. se tiene que para todo $v \in V \setminus E^*$ existe una $v \leftarrow t$ -trayectoria cuya flecha final está en $\{d_2, \dots, d_t\}$, si $p_2 \in E^*$, tendríamos un par de trayectorias decrecientes, lo cual por hipótesis no sucede. Finalmente sea $Y=E^*$, $T(Y)$ es frontera dirigida hacia adentro donde $T(Y) \cap t = \{d_1\}$.

EL Teorema de Lucechei y Younger

Laminar.

El primer concepto se establece en [4] y se refiere a cofronteras dirigidas, aunque Younger lo implantó para cortes dirigidos.

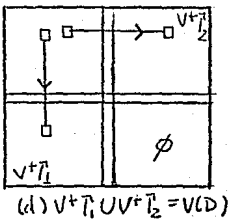
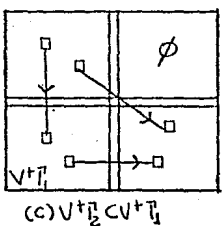
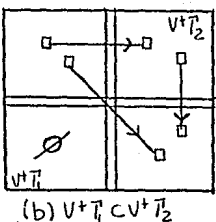
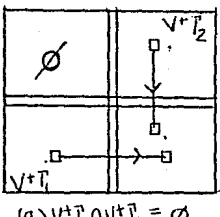
a.2.i Definición. Sean T_1, T_2 cofronteras dirigidas distintas

en D diremos que T_1 y T_2 son laminar si

- (a) $V^+T_1 \cap V^+T_2 = \emptyset$; o
- (b) $V^+T_1 \subset V^+T_2$ ó $V^+T_2 \subset V^+T_1$; o
- (c) $V^+T_1 \cup V^+T_2 = V(D)$.

De otra forma diremos que se cruzan.

En la definición a.2.i nunca suceden dos casos a la vez, de (a), (b) y (c), como intuitivamente ilustra la figura a.2.1.



EL concepto de Laminar
fig. a.2.1.

a.2.1 Teorema. Si T_1 y T_2 son cofronteras dirigidas, no vacías y distintas entonces

$$T(V+T_1 \cap V+T_2) = T_5 \quad y \quad T(V+T_1 \cup V+T_2) = T_2$$

son cofronteras dirigidas, además

$$T_1 \cap T_2 = T_5 \cap T_6 \quad y \quad T_1 \cup T_2 = T_5 \cup T_2.$$

Demostración.

Supongamos que $V^+T_1 \cap V^+T_2 \neq \emptyset$ - en caso contrario $T_5 = \emptyset$ - como D es conexa, $T_5 \neq \emptyset$,

sean $\alpha \in T_5$, $u, v \in V(D)$ los extremos de α donde $u \in V^+T_1 \cap V^+T_2$ y $v \in V^-T_1 \cup V^-T_2$.

el vértice v tiene tres posibilidades

- (i) $v \in V^-T_1 - V^-T_2$
- (ii) $v \in V^-T_2 - V^-T_1$
- (iii) $v \in V^-T_1 \cap V^-T_2$

en cualquiera de ellas, concluimos respectivamente que, ver fig. a.2.2.

- (i) $\alpha = (u, v) \in T_1$
- (ii) $\alpha = (u, v) \in T_2$
- (iii) $\alpha = (u, v) \in V^-T_1 \cap V^-T_2$

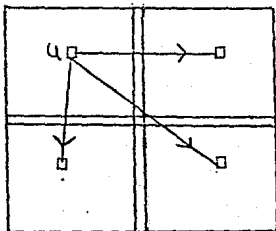


fig.a.2.2

Por lo tanto $u \in V^+T_1 \cap V^+T_2$, es decir T_5 es confrontera dirigida

Ahora supongamos que $V^+T_1UV^+T_2 \neq V(D)$ — en caso contrario $T_2 = \emptyset$.

Como D es conexa, $T_2 \neq \emptyset$

Sean $\alpha \in T_2$, $w, z \in V(D)$ los extremos de α , donde $w \in V^+T_1UV^+T_2$ y $z \in V^-T_1 \cap V^-T_2$, con el vértice w se tienen dos posibilidades.

$$(i) w \in V^+T_1 \quad (ii) w \in V^+T_2$$

concluimos respectivamente que, ver fig. a.2.3.

$$(i) \alpha = (w, z) \in T_1 \quad (ii) \alpha = (w, z) \in V^+T_2$$

es decir $w \in V^+T_1UV^+T_2$; T_2 es confrontada dirigida

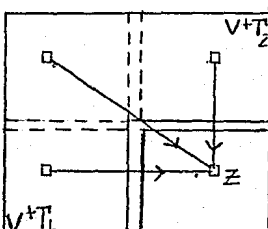


fig. a.2.3.

Probaremos que $T_1 \cap T_2 = T_5 \cap T_n$,
para esto tenemos

$$V^{+T_1} \cap V^{+T_2} \subset V^{+T_1} \cup V^{+T_2} \quad \text{y} \quad V^{-T_1} \cap V^{-T_2} \subset V^{-T_1} \cup V^{-T_2}. \quad (1)$$

Si $a \in T_1 \cap T_2$ entonces

$$p \in V^{+T_1} \cap V^{+T_2} \quad \text{y} \quad n \in V^{-T_1} \cap V^{-T_2}$$

por (1) concluimos que $a \in T_5 \cap T_n$.

Sea $a \in T_5 \cap T_n$, que $a \in T_5$ tenemos que

$$p \in V^{+T_1} \cap V^{+T_2}$$

y que $a \in T_n$ se tiene

$$n \in V^{-T_1} \cap V^{-T_2}$$

es decir $a \in T_1 \cap T_2$.

De ambas conclusiones obtenemos

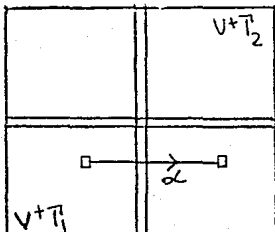
$$T_1 \cap T_2 = T_5 \cap T_n.$$

Problemas que $T_1 \cup T_2 = T_5 \cup T_6$ con ayuda de

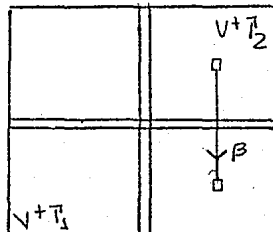
$$T_1 \cap T_2 = T_5 \cap T_6. \quad (2)$$

Sea $\alpha \in T_1 - T_2$, entonces $\alpha \in T_2$ - fig.a.2.4(a)

Sea $\beta \in T_2 - T_1$ tenemos que $\beta \in T_1$ - fig a.2.4(b)



(a)



(b)

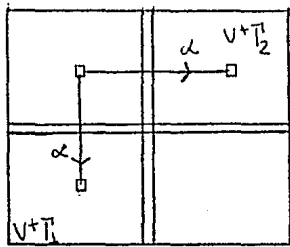
fig.a.2.4.

Con (2) concluimos que

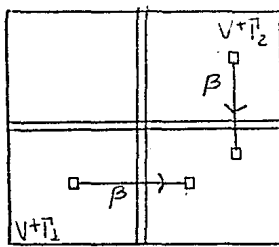
$$T_1 \cup T_2 \subset T_5 \cap T_6.$$

Ahora bien sea $\alpha \in T_5 - T_6$ entonces $\alpha \in T_1$ ó $\alpha \in T_2$
ver fig a.2.5(a).

sea $\beta \in T_6 - T_5$, tenemos que $\beta \in T_1$ ó $\beta \in T_2$
ver fig. a.2.5(b)



(a)



(b)

fig.a.2.5

Con (2) tenemos que

$$T_5 \cup T_2 \subset T_1 \cup T_2$$

De ambas conclusiones se tiene

$$T_1 \cup T_2 = T_5 \cup T_2.$$



a.2.1. Corolario. Si T_1, T_2 se cruzan entonces T_5 y T_2 son laminar

Demonstración

$$T_5, T_2 \neq \emptyset \text{ y } V+T_5 \cap V+T_2$$



El siguiente resultado es para una clase de multi-familias de cofronteras dirigidas donde el corabvo es la base.

a.2.2. Teorema. Si F es una multi-familia de cofronteras dirigidas, donde cualquier flecha en estas cofronteras pertenece a lo más a dos de ellas; entonces existe F' familia de cofronteras dirigidas, dos a dos laminar, $|F|=|F'|$ y F' cumple la misma propiedad que F .

Demonstración.

Sean $T_1, T_2 \in F$ que se cruzan, por el corolario a.2.1.

T_1 y T_2 son laminar.

Consideremos $F_0 = F \cup \{T_1, T_2\} - \{T_1, T_2\}$, claramente $|F_0|=|F|$.

Ahora probaremos que F_0 cumple la misma propiedad

de F .

Sea $\alpha \in T_1 \cap T$, $T \in F - \{T_1\}$ por la hipótesis en F
 $\alpha \notin T_2$ y como $T_1 \cap T = T_5 \cap T_2$. se tiene

$$\alpha \notin T_5 \cap T_2. \quad (1)$$

además $T_1 \cup T_2 = T_5 \cup T_2$ nos dice

$$\alpha \in T_5 \cup T_2 \quad (2)$$

de (1) y (2) α pertenece a uno solo de los conjuntos T_5 y T_2 ; y dentro de F_0 a T .

Si $\alpha \in T_1 \cap T_2$ claramente T_5 , T_2 son las únicas fronteras en F_0 que pertenece α .

También si $\alpha \in T \cap T'$, $T, T' \in F - \{T_1, T_2\}$ se tiene que
 $\alpha \notin T_5 \cap T_2$.

F_0 cumple la misma propiedad de F .

Por otra parte es fácil deducir

$$|V+T_1|^2 + |V+T_2|^2 < |V+T_5|^2 + |V+T_2|^2.$$

de donde

$$\sum_{T \in F} |V+T|^2 < \sum_{T \in F} |V+T'|^2. \quad (3)$$

Reemplazamos F por F_0 , y en F_0 cambiamos dos confrontas que se cruzen por dos nuevas confrontas γ e laminar. Repetimos el procedimiento y la relación (3) nos garantiza que llegaremos a una multi-familia F' con las condiciones requeridas ya que para cualquier multifamilia obtenida en el proceso, digamos F^*

$$\sum_{T \in F^*} |V+T|^2 < K$$

$$\text{con } K = |F| |W(D)|^2.$$

Un Lema.

El paso importante en la demostración del Teorema de Luchesi y Younger es un resultado establecido por Lovász en [4], donde intervienen la multi-familia de cofronteras dirigidas del Teorema; así como algunos conceptos de Teoría de Graficas que pueden consultarse en [1], [2] y [3]; también se da una definición entre cofronteras dirigidas útil en el caso laminar.

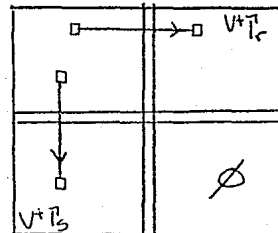
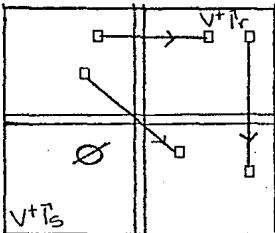
a.2.2 Definición. Sean T_s y T_r cofronteras dirigidas distintas;

(i) T_s está a la izquierda de T_r si

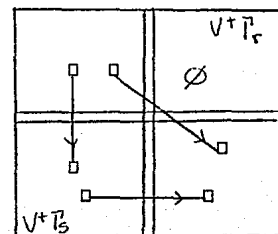
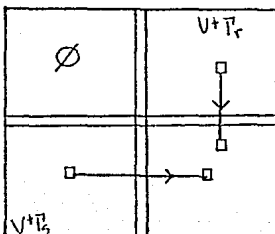
$$V^+T_s \subset V^+T_r \quad \text{ó} \quad V^-T_s \subset V^+T_r$$

(ii) T_s está a la derecha de T_r si

$$V^+T_s < V^-T_r \quad \text{ó} \quad V^-T_s < V^+T_r.$$



T_s a la izquierda de T_r



T_s a la derecha de T_r

fig. a.2.6

a.2.1. Lema. Si una digráfica D contiene a lo más k cortes dirigidos ajenos y F es cualquier multifamilia de cofronteras dirigidas en D tal que cualquier flecha de una cofrontera en F pertenece a lo más a dos de ellas entonces $|F| \leq 2k$.

Demostración

Por el Teorema suponemos que F consiste de cofronteras laminares dos a dos.

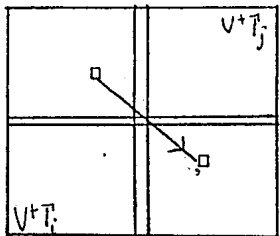
Sea $F = \{T_1, \dots, T_N\}$, construimos la gráfica G' como sigue:

$$V(G') = \{v_1, \dots, v_N\},$$

$$v_i \text{ady } v_j \iff T_i \cap T_j \neq \emptyset.$$

Probaremos que G' es bipartita, esto implicará que G' tiene a lo más $2k$ vértices (k en cada clase de colores).

Consideremos un ciclo en G' , digamos



Construcción de G' .
fig. a.2.7

$$C = v_1, v_2, \dots, v_m, v_1$$

y los correspondientes conjuntos

$$V^+T_i = V_i^+ \quad i=1, \dots, m.$$

T_1, \dots, T_m son distintos, ya que si $T_u = T_v$, cada flecha de T_v pertenece a T_u y por la propiedad de F a ninguna otra frontera en ella, es decir. v_v tiene grado 1 en G' y no puede pertenecer a un ciclo de G' .

Como T_i, T_{i+1} son laminar ($i \equiv 1, 2, \dots, m \text{ mod}(m)$). y $T_i \cap T_{i+1} \neq \emptyset$ (No puede suceder que $V_i^+ \cup V_{i+1}^+ = V(D)$ y $V_i^+ \cap V_{i+1}^+ = \emptyset$) tenemos que.

$$V_i^+ \subset V_{i+1}^+ \quad \text{ó} \quad V_{i+1}^+ \subset V_i^+ \quad (1)$$

dentro de C las dos posibilidades deben ocurrir alternativamente (esto nos dice que m es par)

Supongamos que no sucede, es decir que

$$V_0^+ \subset V_1^+ \subset V_2^+ \dots \quad (2)$$

e. De (2) tenemos

T_2 está a la derecha de T_1

T_0 está a la izquierda de T_1 . ($T_0 = T_m$).

entonces existe una j , $2 \leq j \leq m-1$ tal que

T_j está a la derecha de T_1

T_{j+1} está a la izquierda de T_1 .

es decir, fig. a.2.8.

T_j a la derecha de T_1

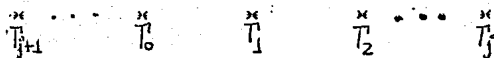
$$(a) V_j^+ \subset V_1^-$$

$$(b) V_j^- \subset V_1^+$$

T_{j+1} a la izquierda de T_j

$$(c) V_{j+1}^t \subset V_1^+$$

$$(d) V_{j+1}^- \subset V_1^+$$



T_j a la derecha de T_1 y T_{j+1} a la izquierda de T_1

fig. a.2.8

Ahora bien $T_j \cap T_{j+1} \neq \emptyset$.

Sea $\alpha \in T_j \cap T_{j+1}$, veamos que α deberá pertenecer a V_1^+ .

Caso (a) y (c); tendríamos que $p\alpha \in V_1^+$, esto por (a); y por (c) $p\alpha \in V_1^+$, fig. a.2.9. Esto no sucede.

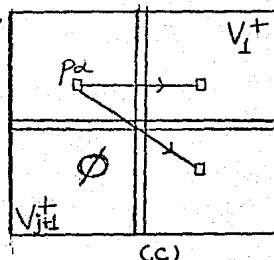
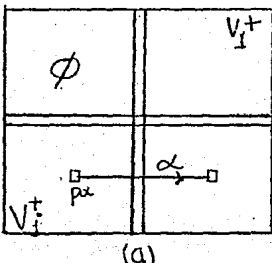
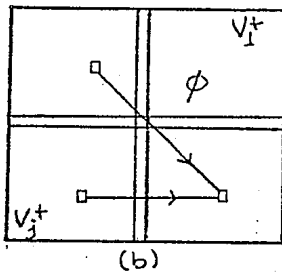
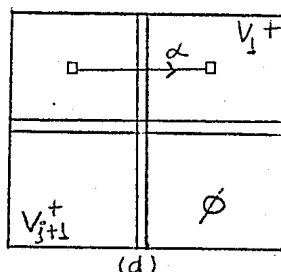


fig. a.2.9 131

Caso (b) y (d). de (b) se tiene que $n_2 \notin V_j^+$; de (d) obtenemos que $n_2 \in V_j^+$. Esto no sucede. fig. a.2.10



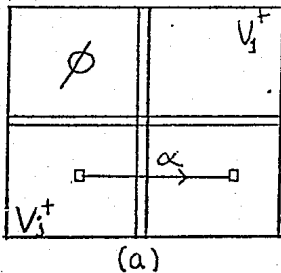
(b)



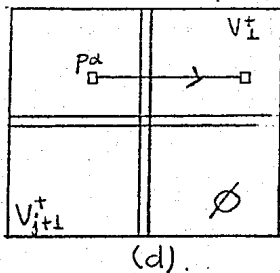
(d)

fig. a.2.10.

Caso (a) y (c). de (a) $p_2, n_2 \notin V_j^+$; de (c) $p_2, n_2 \in V_j^+$. este caso no sucede. fig. a.2.11



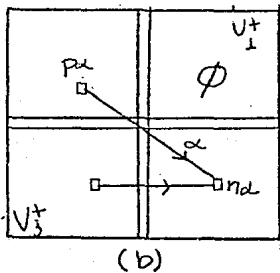
(a)



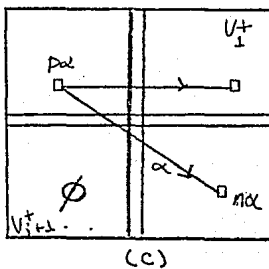
(c)

fig. a.2.11

Caso (b), (c). De (b) $n\alpha \in V_i^-$ y de (c) $p\alpha \in V_i^+$, es decir $\alpha \in T_j$.



(b)



(c)

fig.a.2.12.

Como $T_j \neq T_l$ y $T_{j+1} \neq T_l$, por la propiedad en F
 $\alpha \notin T_l$!

entonces (1) sucede alternativamente en G' , es decir m es par. G' es bipartita, es decir dos clases de color cada una con al menos k vértices

i.e.

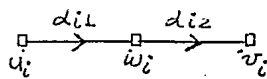
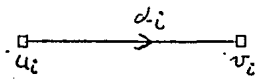
$$|F| \leq 2k$$



El Teorema de Lucchesi y Younger

La demostración del Teorema minf-max será por inducción en el número de flechas de la digráfica. Para usar de manera conveniente la hipótesis de inducción, necesitamos definir una operación en digráficas, la subdivisión de flechas, que permita aumentar el número de cortes dirigidos ajeros con respecto a la digráfica original.

0.2-3. Definición. Sea $ACF(D)$, $A = \{d_1, \dots, d_n\}$. $d_i = (u_i, v_i)$ con $1 \leq i \leq n$, diremos que las flechas de A son subdivididas si cada d_i , $1 \leq i \leq n$ es reemplazada por las flechas $d_{i1} = (u_i, w_i)$, $d_{i2} = (w_i, v_i)$, $w_i \notin V(D)$, $1 \leq i \leq n$. A la digráfica resultante se denotará como D'_A ; Si $A = F(D)$ lo denotaremos como $S(D)$.



subdivisión de una flecha.

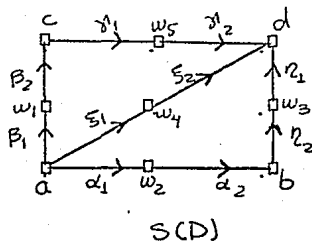
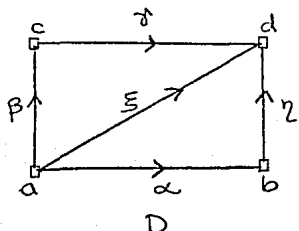


fig. a.2.13.

El primer resultado que necesitamos donde aparece la operación de subdivisión con cortes dirigidos es intuitivamente claro, por tal motivo se omite su demostración. Ver fig. a.2.14.

a.2.2 Teorema. Si T_0 es corte dirigido en D al subdividir las flechas de T_0 se obtienen dos nuevos cortes dirigidos ajenos

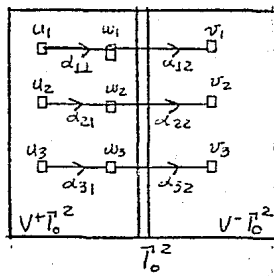
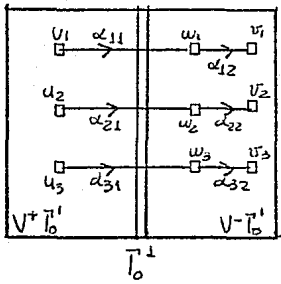
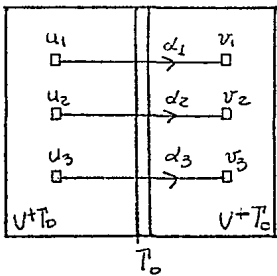


fig.a.2.14.

De lo anterior, es posible pensar en una subdivisión de D con la propiedad de que la nueva digráfica tenga el mismo número de cortes dirigidos ajenes que D , digamos k , pero al subdividir una cierta flecha tendrá $k+1$ cortes dirigidos ajenos.

a.2.3 Taoroma. Sea D con a lo más k - cortes dirigidos ajenos ($k > 0$) entonces existe una subdivisión H de D tal que H contiene a lo más k - cortes dirigidos ajenos, pero si subdividimos una cierta flecha α de H , se tienen $k+1$ cortes dirigidos ajenos. Además H contiene $k+1$ cortes dirigidos donde solamente dos de ellos tienen una flecha en común la cual es α .

Demonstración.

Sean las flechas α_1, α_2 la subdivisión de α y T_1, \dots, T_{k+1} cortes dirigidos ajenos en H_2 .
Si α_1 y α_2 no pertenecen a ningún corte T_j entonces para cada $j=1, \dots, k+1$, $T_j \subset F(H)$, es decir H tiene $k+1$ cortes dirigidos ajenos. \diamond

Si una y sola una de α_1, α_2 pertenece a algún corte T_j ; en H reemplazamos α_i ($i=1 \text{ ó } 2$) por

α ; entonces $T_j' = T_j \cup \{\alpha\} - \{\alpha_i\}$ es corte dirigido en H .

De donde $T_1, \dots, T_j, \dots, T_{k+1}$ son $k+1$ cortes dirigidos ajenos en H . P.

Por lo tanto α_1, α_2 pertenecen a algunos cortes T_r y T_s . Claramente se tiene que $r \neq s$. En caso que sea por la definición de corte dirigido, α_1, α_2 no pueden estar en un mismo T_j .

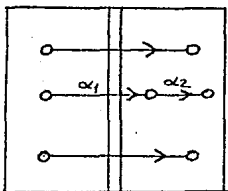
S.P.G. supongamos que $\alpha_1 \in T_1, \alpha_2 \in T_2$.

En H tenemos . fig.a.2.15

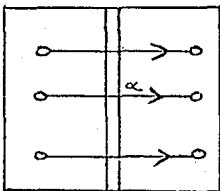
$T_1' = T_1 \cup \{\alpha\} - \{\alpha_1\}$ y $T_2' = T_2 \cup \{\alpha\} - \{\alpha_2\}$ son cortes dirigidos además como T_1, \dots, T_{k+1} son ajenos en H'_d .

$T_1', T_2', T_3, \dots, T_{k+1}$

son $k+1$ cortes dirigidos en H y solamente dos de ellos, T_1' y T_2' , tienen una flecha en común que es α .



T'_1 en H'_2



T'_1 en H .

fig. a.2.15.

En todos estos resultados relacionados con la subdivisión y los cortes dirigidos existe un razonamiento que intuitivamente es claro.

Si B_1, \dots, B_K son cortes dirigidos ajenos en D y $\alpha \in B_j$, al subdividir la flecha α en α_1 y α_2 los cortes dirigidos B'_1, \dots, B'_K son ajenos en D' , donde $B'_j = B_j \cup \{\alpha_1, \alpha_2\}$.

Así sucesivamente al subdividir el conjunto $ACF(D)$ los cortes originales se convierten en otros, digamos B'_1, \dots, B'_K ajenos en D' .

Los temas anteriores son la herramienta necesaria para nuestro objetivo.

a.2. Teorema (Lucchesi y Younger). En una digráfica el máximo número de cortes dirigidos ajenos es igual al mínimo número de flechas las cuales intersectan a todos los cortes dirigidos de la digráfica.

Demonstración.

Usaremos inducción sobre el número de flechas.

Si el número de flechas de la digráfica es 0 la proposición es verdadera.

Hipótesis de Inducción.

Supongamos que si la digráfica tiene n flechas y a lo más m cortes dirigidos ajenos existen m flechas que intersectan a todos los cortes dirigidos de la digráfica.

Sea D una digráfica con $n+1$ flechas y a lo más k cortes dirigidos ajenos.

Si $k=0$, la proposición es cierta.

Supongamos $k \geq 1$.

Si existe $\alpha \in F(D)$, tal que D_α tiene a lo más $k-1$ cortes dirigidos por la hipótesis de inducción existen $\alpha_1, \dots, \alpha_{k-1}$ flechas en D_α que intersectan a todos los cortes dirigidos en D_α ; y por el Teorema 2.4, $\alpha, \alpha_1, \dots, \alpha_{k-1}$ son k flechas que intersectan a todos los cortes dirigidos en D .

Supongamos que D tiene k cortes dirigidos ajenos para cada $\alpha \in F(D)$.

Sea H una subdivisión de D , tal que H contiene a lo más k cortes dirigidos ajenos, pero si subdividimos una cierta flecha β de H , H_β tiene $k+1$ cortes dirigidos ajenos. Esto es el teorema 2.6, que nos dice que existen

$$T_1, \dots, T_{k+1} \quad (1)$$

cortes dirigidos en H tal que solamente dos de ellos tienen una flecha en común y es β .

Ahora bien H_β se puede obtener de D ó D_β por subdivisión.

Como D_β tiene k cortes dirigidos ajenos al subdividir hasta obtener H_β , llegamos a otros k cortes dirigidos en H_β ; que pueden ser los iniciales;

Sean C_1, \dots, C_k tales cortes, en H_β , dirigidos y ajenos donde $\beta \notin C_i$, $i=1, \dots, k$.

Consideremos $F = \{T_1, \dots, T_{k+1}, C_1, \dots, C_k\}$

Sea $\beta \in T_j$, $\beta \neq \beta$, por la propiedad en (1)
 $\beta \notin T_i$, $i \neq j$; Y como C_1, \dots, C_k son ajenas a lo
más β pertenece a uno solo de C_t , $t=1, \dots, k$.

Análogamente cada flecha en C_t como no es β
a lo más pertenece a uno solo de T_j .

Es decir F es una familia que cumple las con-
diciones del lema.

Por lo cual $|F| \leq 2k$

¡Pero $|F| = 2k + 1$! \square

De donde existe $\alpha \in F(D)$ tal que D_α tiene a lo
más $k-1$ cortes dirigidos.

Bibliografía.

1. Abrin, V. Rivera, E. Teoría de Gráficas. Comunicaciones internas del Departamento de Matemáticas. Serie Notas de clase. Facultad de Ciencias U.N.A.M. 1985.
2. Christofides, N. Graph Theory: An algorithmic Approach. Academic Press, New York 1975.
3. Harary, F. Graph Theory. Addison Wesley, Reading M.A. Segunda Edición 1971.
4. Lovász, L. "On Two Minimax Theorems in Graphs". Journal of Combinatorial Theory. Vol. B. 21, pp 96-103 1976.

5. Lucchesi, C. Younger, D.H. "A minimal Theorem for directed graphs". Journal London Math. Soc. Vol 12.(17) pp 369-374. 1978.
6. Tutte, W.T.: Recent Progress in Combinatorics. Academic Press, New York. 1969.
7. McWhirter, I.P. Younger, D.H. "Strong Covering of a bipartite graph". Journal London Math. Soc. Vol. 2. (2). pp-86-90, 1971.
8. Younger, D.H. "Maximum families of disjoint directed cut sets" de Recent Progress in Combinatorics
pp 329-333. 1969.